

5. Gitter, Gradienten, Interpolation

5.1. Gitter

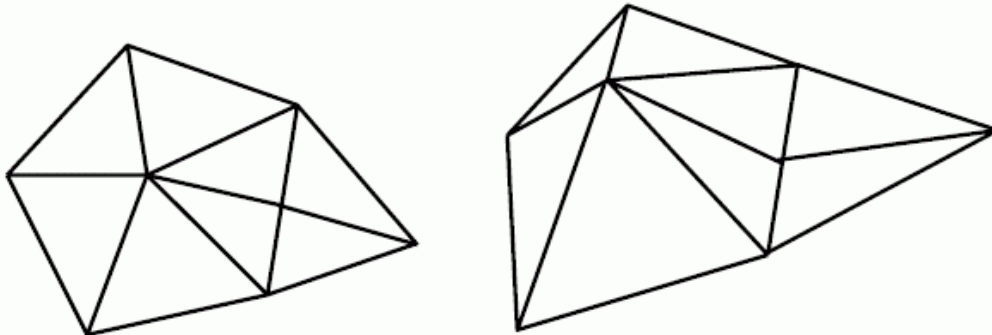
● **Wozu brauchen wir Gitter?**

- Natürliche Phänomene sind in der Regel kontinuierlich (d.h. unendlich hoch aufgelöst)
- Computer können (natürlich) nur mit endlichen Datenmengen arbeiten
- Kontinuierliche Daten müssen *abgetastet* (digitalisiert, rasterisiert) werden, um im Computer verarbeitet werden zu können.

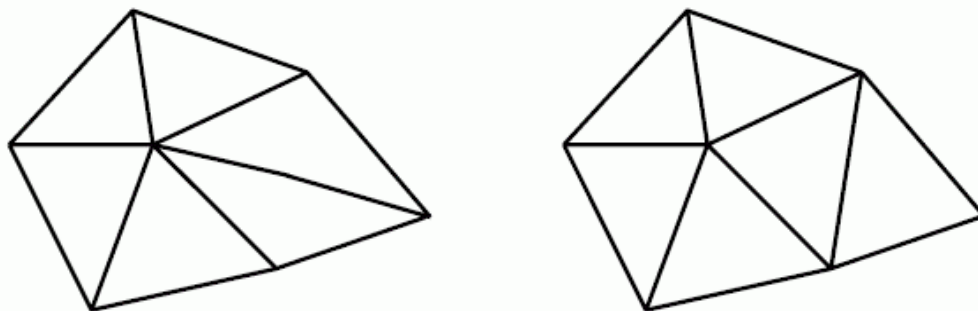
(Rezk-Salama, o.J.)

- Aufteilung der Gitterstruktur in
 - **Topologie** (Konnektivität) und
 - **Geometrie** (Anordnung, Position)
- Aufteilung in
 - **regelmäßig** (regulär) und
 - **unregelmäßig** (irregulär)
- Zusammenhängend? Mit Löchern?

- Topologie beschreibt **Nachbarschaft** von Zellen
- Berücksichtigt nicht Position der Gitterpunkte, dh. es ist unabhängig von Verzerrungen
- Der **Valenz** eines Gitterpunktes beschreibt Topologie



- Topologisch äquivalent, aber nicht identisch



- Topologisch unterschiedlich, geometrisch aber gleich

Gitterklassifikation:

- Kartesische/uniforme/rechteckige (rectilinear) Gitter: **regelmäßige** Topologie und Geometrie
- Gebogene (curvilinear) Gitter: **regelmäßige** Topologie, **unregelmäßige** Geometrie
- Unregelmäßige (irregular, unstructured) Gitter: **unregelmäßige** Topologie und Geometrie
- Unregelmäßige Topologie, regelmäßige Geometrie werden nicht wirklich verwendet.

Gitterfreie Daten (*set / ordered set*)

Regelmäßige Gitter (*regular grid*): haben achsenparallele Gitterlinien. Der Abstand von benachbarten parallelen Gitterlinien ist konstant.

Unregelmäßige oder unstrukturierte Gitter (*unstructured grid*): werden durch beliebige Gitterlinien mit beliebigem Abstand definiert. Das heißt, sowohl die Koordinaten als auch der Verbund der Gitterpunkte muss explizit gegeben sein.

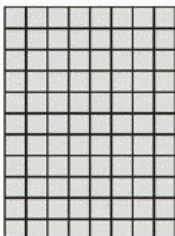
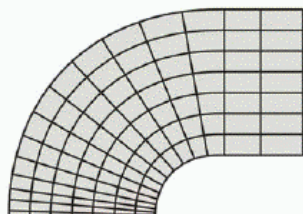
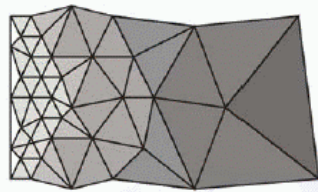
Blockstrukturierte Gitter (*block-grid*): haben achsenparallele Gitterlinien mit unterschiedlichen Abständen.

Strukturierte Gitter (*structured grid / curvilinear grid*): haben beliebige Gitterlinien. Die Koordinaten eines Gitterpunktes auf einer Gitterlinie sind analytisch gegeben. Sind die Gitterlinien als Kurven in Parameterform gegeben, sprechen wir auch von "Curvilinearen Gittern".

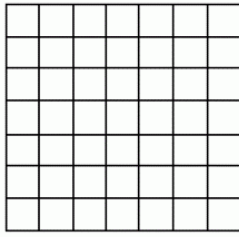
Hybride Gitter: setzen sich aus unterschiedlichen Gittertypen zusammen.

(Bartz 2005)

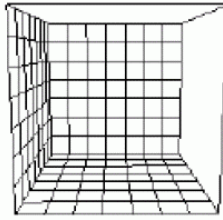
2D Gittertypen

<i>uniform rectilinear</i>	<i>curvilinear</i>	<i>unstrukturiert</i>
		
<ul style="list-style-type: none">● Zellen: gleichförmige Rechtecke, Quadrate● Anordnung: uniform regulär	<ul style="list-style-type: none">● Zellen: unterschiedliche Vierecke,● Anordnung: nicht uniform, aber strukturiert (Topologie)	<ul style="list-style-type: none">● Zellen: Dreiecke, (selten Rechtecke, Polygone)● Anordnung: unstrukturiert

(Rezk-Salama, o.J.)



2D-Regular Grid



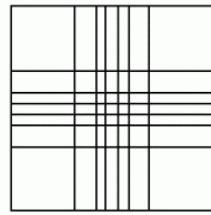
3D-Regular Grid



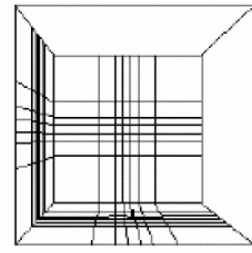
2D-Irregular Grid



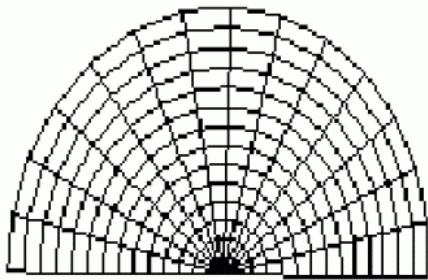
3D-Irregular Grid



2D-Block-Structured Grid



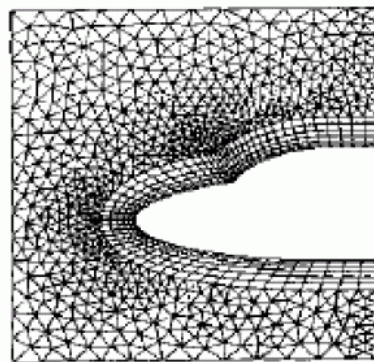
3D-Block-Structured Grid



2D-Structured Grid



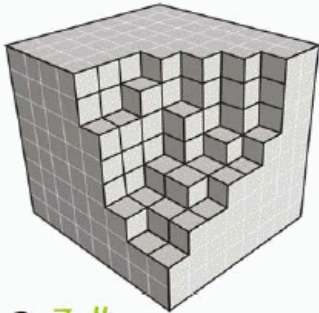
3D-Structured Grid



2D-Hybrid Grid

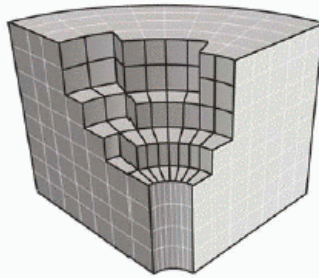
3D Gittertypen

uniform rectilinear



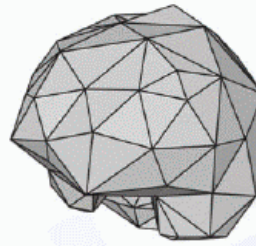
- **Zellen:** gleichförmige Hexaeder,
- **Anordnung:** uniform regulär

curvilinear



- **Zellen:** unterschiedliche Hexaeder,
- **Anordnung:** nicht uniform, aber strukturiert

unstrukturiert



- **Zellen:** Tetraeder, Hexaeder, Pyramiden, Prismen
- **Anordnung:** unstrukturiert

(Rezk-Salama, o.J.)

Allgemeine Gitterstrukturen:

● Speicherbedarf für Gitter

Was muß gespeichert werden?

Allgemein:

- Dimension
- Liste der Vertices (Gitterpunkte) [explizit oder implizit]
- Liste der Zellen [explizit oder implizit]

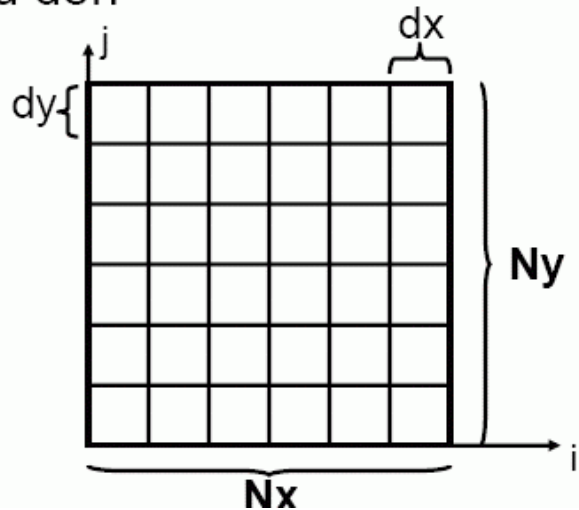
Optional (redundant):

- Liste der Kanten
- Liste der Flächen (3D)
- Kreuzreferenzen: Zelle → Vertices, Zelle → Flächen, Zelle → Kanten, Fläche → Kanten, usw.

(Rezk-Salama, o.J.)

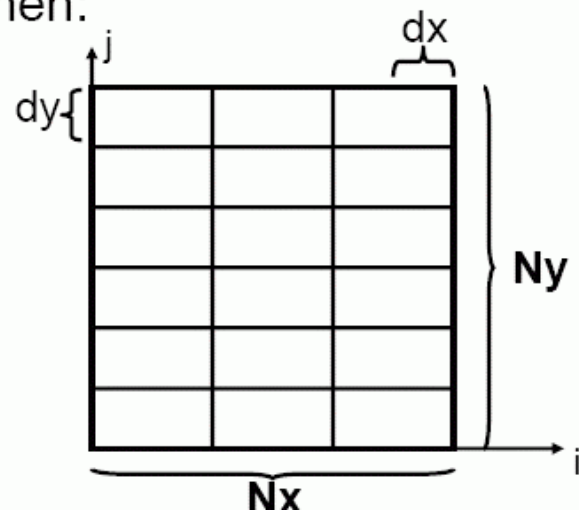
Detaillierte Betrachtung – Kartesische Gitter:

- Auch als **äquidistante** Gitter bekannt
- Gehören als Spezialfall zu den **strukturierten Gittern**
- Konstante Abstände im Gitter in jeder Dimension
- Üblich: $dx = dy (= dz)$
- Isotroper Datensatz
- Würfelzellen



Detaillierte Betrachtung – Uniforme Gitter:

- Wie kartesische Gitter, aber mit **unterschiedlichen Gitterabständen** in verschiedenen Dimensionen:
 $dx \neq dy (\neq dz)$
- Gehört auch zu **strukturierten Gittern**
- Anisotroper Datensatz
- Quaderzellen



(Bartz 2005)

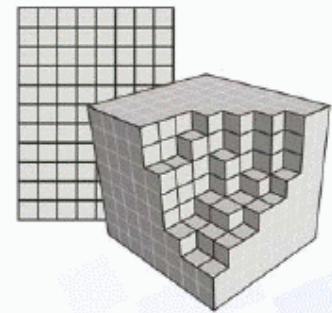
Uniforme Gitter

● Strukturiertes Gitter

Was muß gespeichert werden?

Zellen und Vertices implizit:

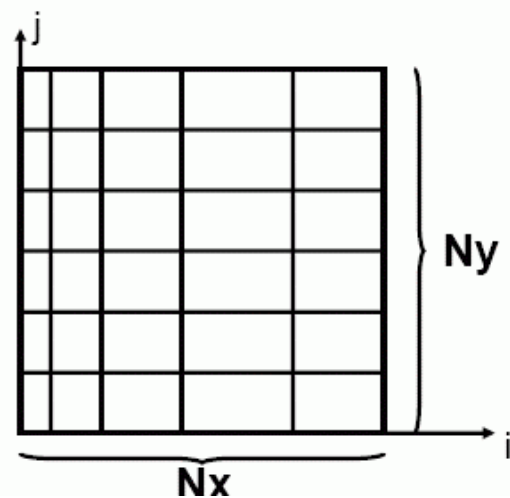
- Dimension N_x, N_y, N_z :
Anzahl der Abtastpunkte in x-, y- und z-Richtung
- Zellgröße/Gitterweite $\Delta x, \Delta y, \Delta z$:
Abstand der Abtastpunkte in x-, y- und z-Richtung
- Datenwerte als Array mit Index n
 $n = N_x \cdot N_y \cdot z + N_x \cdot y + x$



(Rezk-Salama, o.J.)

Detaillierte Betrachtung – Nichtuniforme Gitter:

- Auch als **rectilineare** Gitter bekannt
- Wie uniforme Gitter, aber mit variierenden Gitterabständen (per Funktion angegeben)
- Gehört auch zu **strukturierten Gittern**
- Anisotroper Datensatz
- Quaderzellen unterschiedlicher Größen



(Bartz 2005)

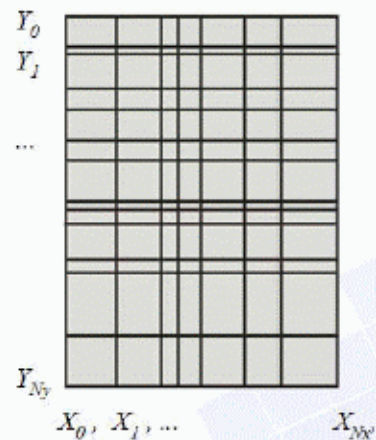
Rectilineare Gitter

● Strukturiertes Gitter

Was muß gespeichert werden?

Zellen implizit, Vertices explizit:

- Dimension N_x, N_y, N_z :
Anzahl der Abtastpunkte in x-, y-
und z-Richtung
- Koordinaten der Linien/Ebenen:
 - X_0, X_1, \dots, X_{N_x} ,
 - Y_0, Y_1, \dots, Y_{N_y} ,
 - Z_0, Z_1, \dots, Z_{N_z} ,
- Datenwerte als Array mit Index n
 $n = N_x \cdot N_y \cdot z + N_x \cdot y + x$

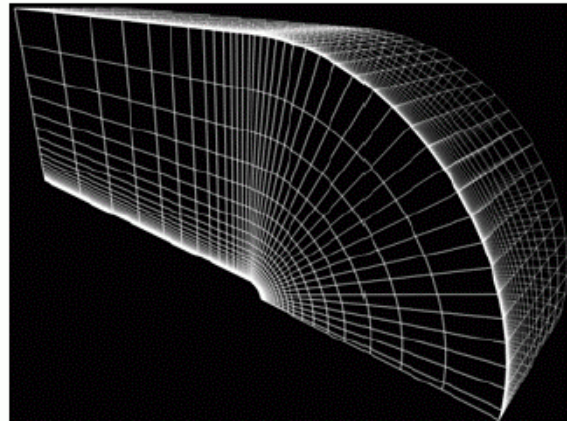


Eigenschaften nichtuniformer Gitter:

- Kartesische und uniforme Gitter als Spezialfall
- Gitter (und Zellen) sind **konvex**
- **Sichtbarkeitssortierung** ist fest (da konvex)
- **Einfache, kompakte** Handhabung durch **implizite** Adressierung
- Lokale Gitterverfeinerung **schwierig/nicht möglich**
- Abbildung auf **komplexe Strukturen nicht immer möglich**

Detaillierte Betrachtung – Curvilineare Gitter:

- Auch als **gebogenen** Gitter bekannt
- Wie uniforme Gitter, aber mit variierenden Gitter**geometrie** (per Funktion angegeben)
- Gehört auch zu **strukturierten Gittern**
- Anisotroper Datensatz
- Quaderzellen unterschiedlicher Größen



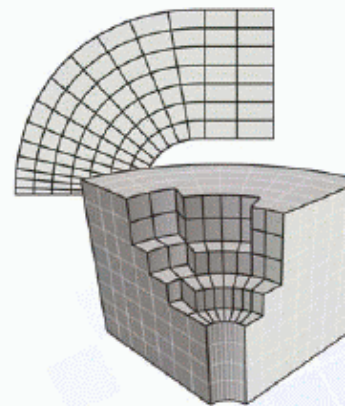
(Bartz 2005)

Curvilineare Gitter

● Strukturiertes Gitter

Was muß gespeichert werden?
Zellen implizit, Vertices explizit:

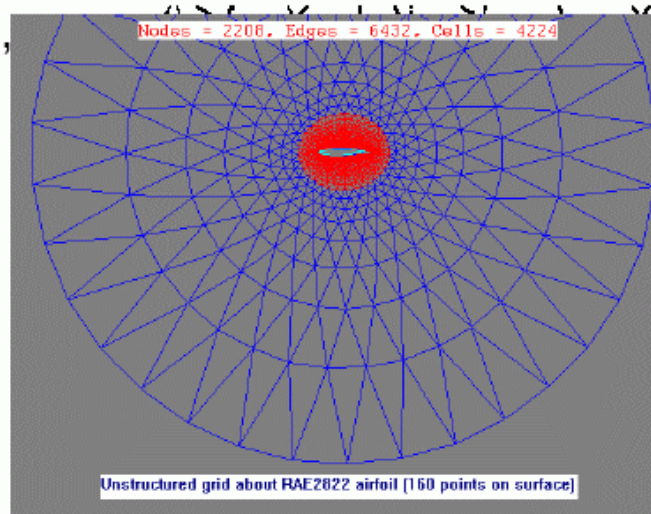
- Dimension N_x, N_y, N_z :
Anzahl der Abtastpunkte in x-, y- und z-Richtung
- Liste der Gitterpunkte P_{ijk} :
x-, y- und z-Koordinaten der Gitterpunkte
- Datenwerte als Array mit Index n
 $n = N_x \cdot N_y \cdot z + N_x \cdot y + x$



(Rezk-Salama, o.J.)

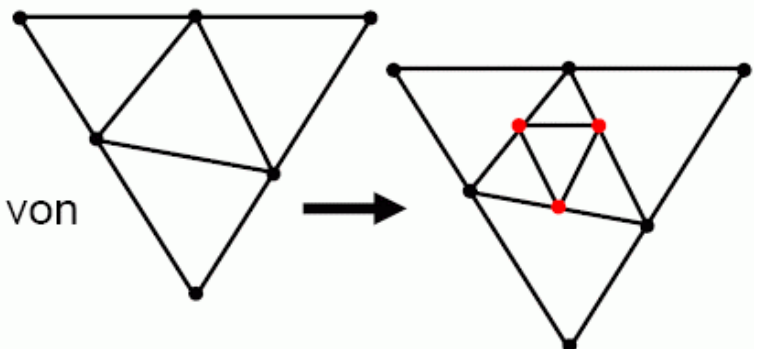
Detaillierte Betrachtung – Unstrukturierte Gitter:

- Auch als **irreguläre** Gitter bekannt
- Variierende Topologie, variierende Gitterpositionen
- Variierende Zelltypen (Tetras, Hexas, Prismas, ...)
- Hybrid Gitter ist Spezialform mit verschiedenen Gittertypen



Eigenschaften unstrukturierter Gitter:

- **Lokale Verfeinerung** gut möglich
- **Gute Adaption** an unregelmäßige Datenräume (variierende Zelltypen, variierende Zellgrößen)
- **Wohldefinierte Interpolation** innerhalb der Zellen
- Aber **aufwendig** in Speicherung und Auswertung
- Repräsentation durch **explizite** Speicherung von **Nachbarschaftsbeziehungen**



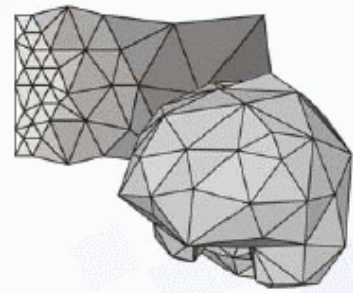
(Bartz 2005)

● Unstrukturiertes Gitter

Was muß gespeichert werden?

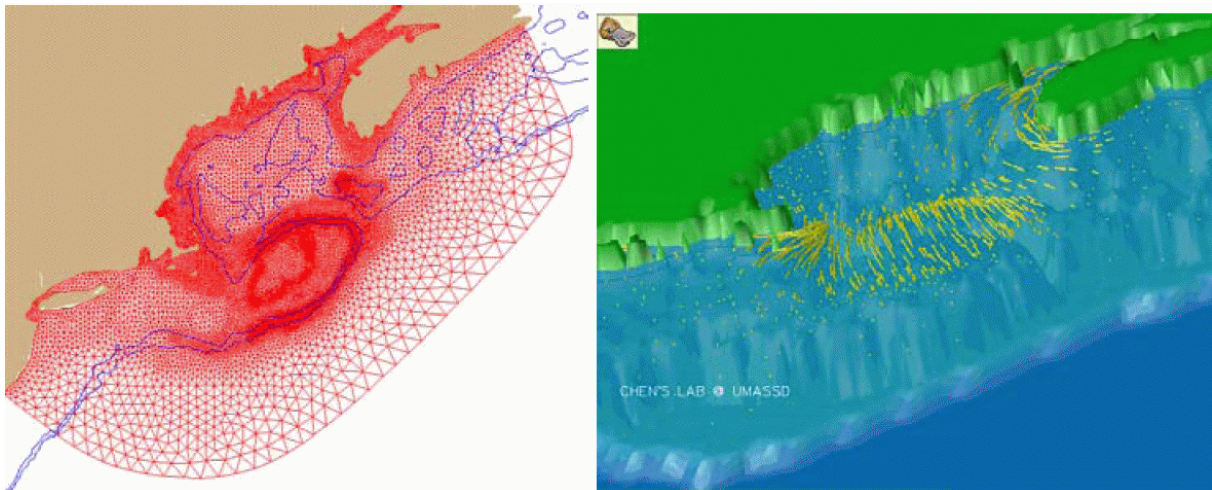
Zellen und Vertices explizit:

- Anzahl der Gitterpunkte N
- Anzahl der Zellen Z
- Liste der Gitterpunkte P_{ijk} :
x-, y- und z-Koordinaten der Gitterpunkte
- Liste der Zellen:
z.B. Tetraeder: 4 Indices der Gitterpunkte

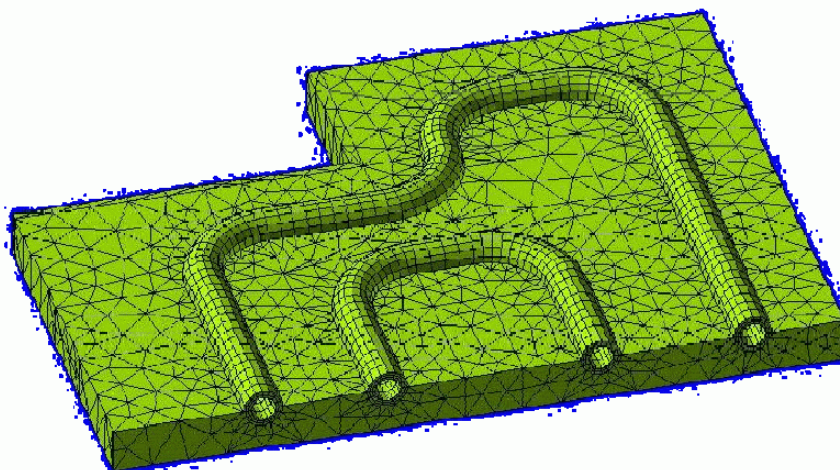


(Rezk-Salama, o.J.)

Beispiele unstrukturierter Gitter:



Detaillierte Betrachtung – Hybrid-Gitter:

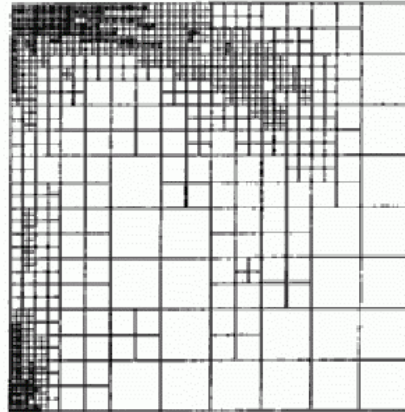


(Bartz 2005)

Sonderfall "Multi-Gitter":

Lokale Gitterverfeinerung

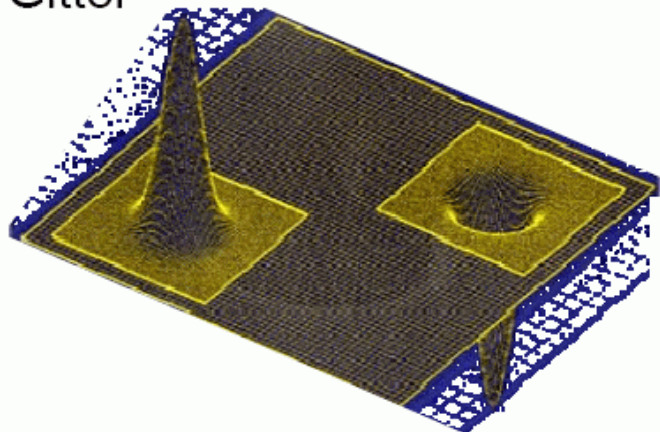
- Mesh subdivision and / or Multiblock



(Woessner, o.J.)

Detaillierte Betrachtung – Multi-Gitter:

- Kombination von Gittern **verschiedener Auflösung** und ggf. verschiedener Gittertypen
- Oft auch **überlagerte** Gitter
- Besser **Auflösung/ Darstellung**, wo sie benötigt wird
- **Anschlussregionen** können knifflig sein



(Bartz 2005)

Zusammenfassung Gittertypen

● *Uniform rectilinear:*

Vorteile: einfach, effizienter Speicherzugriff, Zellsuche ist trivial,

Nachteile: überall gleiche Auflösung, keine lokale Verfeinerung möglich

● *Curvilinear:*

Vorteile: flexibler als rectilineare Gitter

Nachteile: Gitterstruktur muß zusätzlich gespeichert werden, Algorithmus zur Zellsuche erforderlich

● *Unstrukturiert:*

Vorteile: sehr hohe Flexibilität, lokale Verfeinerung möglich

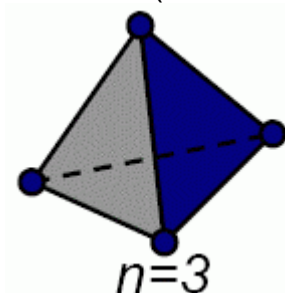
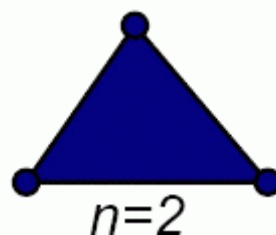
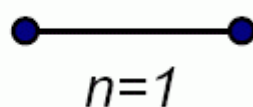
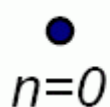
Nachteile: Position jedes Datenpunktes und Zellen müssen explizit gespeichert werden, Zellsuche erforderlich

(Rezk-Salama, o.J.)

Allgemeine Gitter setzen sich oft aus **Simplizes** zusammen:

- Ein Simplex im R^n besteht aus einer **Konvexen Hülle** aus $n+1$ affin unabhängigen Punkten
- R^0 : Punkte, R^1 : Linien, R^2 : Dreiecke, R^3 : Tetraeder, ...
- Partitionen durch Simplizes werden allgemein als Triangulierungen bezeichnet (auch bei $n>2$)

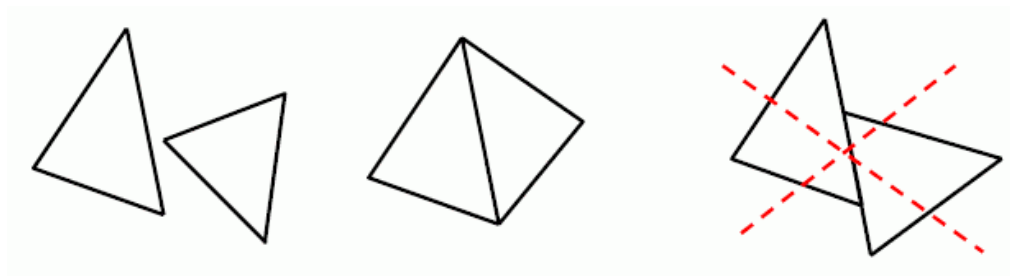
(Bartz 2005)



Begriff des "simplicialen Komplexes":

Menge von Simplices mit bestimmten Eigenschaften

- Ein simplicialer Komplex C besteht aus Simplices, die entweder eine Seite (im \mathbb{R}^2 eine Kante oder Ecke) oder nichts gemeinsam haben,
- jede Seite (Kante) eines Simplex aus C gehört auch zu C .



Datenstrukturen zum Abspeichern unstrukturierter Gitter:

Speicherung von Nachbarschaftsbeziehungen

- gemeinsame Seite / Polygon
- gemeinsame Kante
- gemeinsame Ecke

mehrere Varianten möglich

Beispiel: Dreiecksnetz

● „Winged Edge“

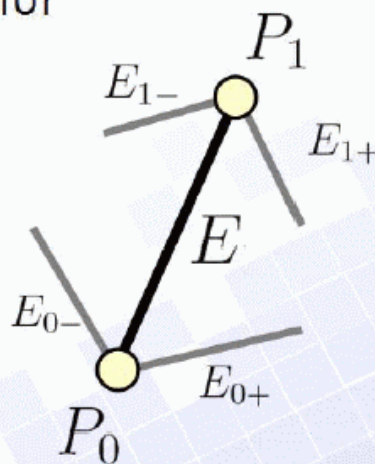
kantenbasierte Datenstruktur

Für jede Kante E :

- 2 Referenzen auf Vertices
- 4 Referenzen auf benachbarte Kanten

Für jeden Vertex P :

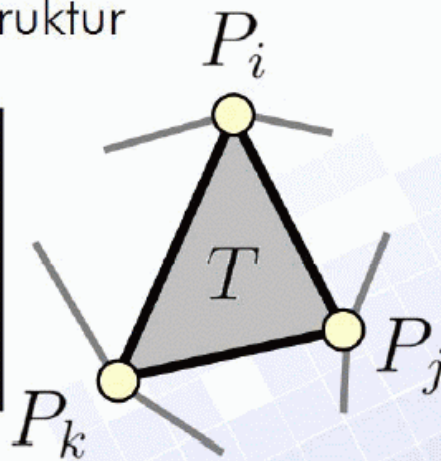
- Position (3 Koordinaten)
- 1 Referenz auf eine seiner Kanten



● „Shared Vertex“

flächenbasierte Datenstruktur

Für jeden Vertex P :
 Position (3 Koordinaten)
 Für jedes Dreieck T :
 3 Referenzen auf Vertices



Welche Datenstruktur ist effizienter?

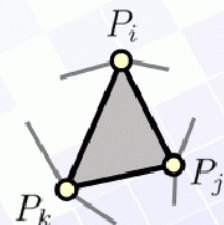
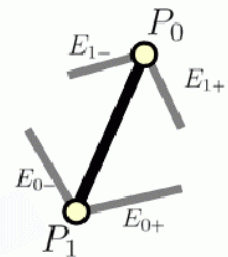
Faustregel: Dreiecksnetz mit n Vertices, hat ca. $3n$ Kanten und $2n$ Flächen

● „Winged Edge“

benötigt ca. $(3+1)n + 6 \cdot 3n = 22n$ Werte

● „Shared Vertex“

benötigt ca. $3n + 3 \cdot 2n = 9n$ Werte



ABER: Winged Edge ermöglicht schnellere Algorithmen, da die Traversierung (z.B. Aufzählung aller Kanten zu einem geg. Vertex, aller Vertices zu einem geg. Dreieck, etc.) in **konstanter** Zeit möglich ist!

(Rezk-Salama, o.J.)

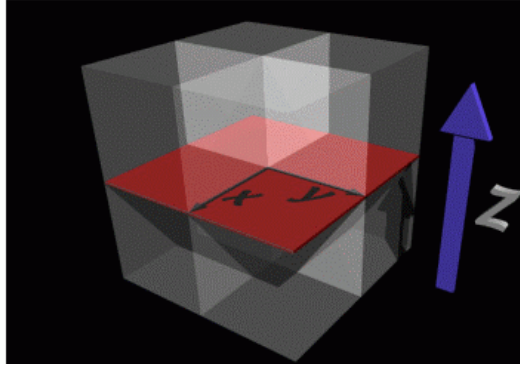
Koordinatensysteme:

- verschiedene Systeme in Gebrauch
- kartesisches System am häufigsten
- wichtige Alternativen: Zylinder-, Kugelkoordinaten

Kartesisches Koordinatensystem:

- Setzt sich im \mathbb{R}^n aus n Einheitsvektoren als Basis zusammen:
mit $n=3$

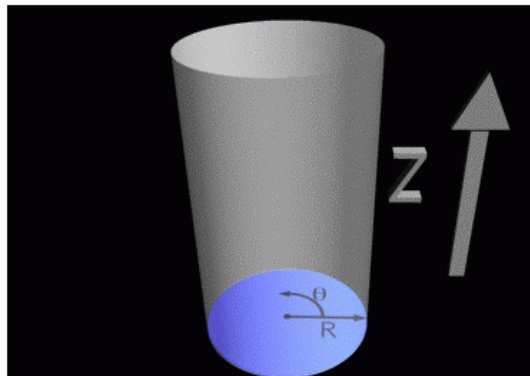
$$\vec{e}_1, \vec{e}_2, \vec{e}_3$$



Zylinder-Koordinatensystem:

- Basis im \mathbb{R}^3 setzt sich aus Winkel Θ , Höhe z bzw. h und Radius R zusammen

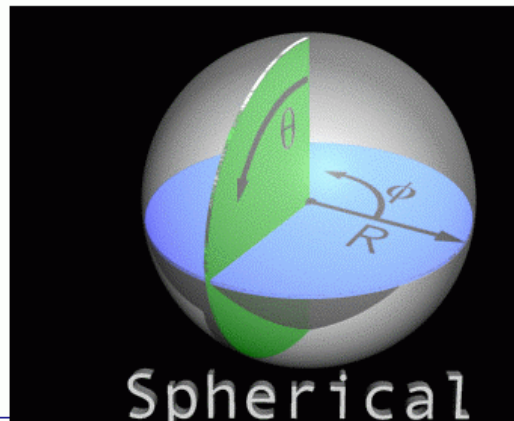
- $x = R \cos(\Theta)$
- $y = R \sin(\Theta)$
- $z = z$
- $\Theta = \arctan\left(\frac{y}{x}\right)$
- $R = \sqrt{(x^2 + y^2)}$



Kugel-Koordinatensystem:

- Basis im \mathbb{R}^3 setzt sich aus den Winkeln Θ , Φ und dem Radius R zusammen

- $x = R \sin(\Theta) \cos(\Phi)$
- $y = R \sin(\Theta) \sin(\Phi)$
- $z = R \cos(\Theta)$
- $\Theta = \arccos\left(\frac{z}{R}\right)$
- $\Phi = \arccos\left(\frac{y}{x}\right)$
- $R = \sqrt{(x^2 + y^2 + z^2)}$



5.2 Abtastung

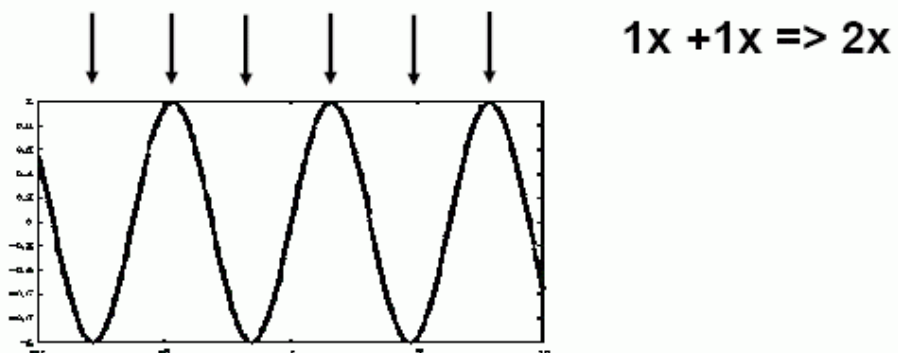
Beim Übergang von kontinuierlichen Daten zu einem diskreten Gitter findet Abtastung statt (Diskretisierung).

Signaltheorie: Diskretisierung unterliegt dem *Abtasttheorem*

- dessen Nicht-Beachtung führt zu Aliasing (artifiziellen Mustern), z.B. Treppenstufen, Schein-Schwingungen, Moiré-Muster.

Abtasttheorem (Nyquist, Shannon):

Für eine hinreichende Rekonstruktion eines Signals, muss man es **mindestens doppelt so schnell** abtasten (**Nyquist - Rate**)



→ Abtastrate mindestens doppelt so hoch wählen wie die Abmessung des kleinsten interessierenden Details (besser dreimal so hoch)

(siehe auch Vorlesung "Bildanalyse und Bildverstehen"!)

für manche Datensätze von Interesse:

Übergang in den Frequenzraum

d.h. Darstellung des Datensatzes mit Hilfe periodischer Funktionen unterschiedlicher Frequenz

- Fourier-Analyse (Fourier-Transformation) wird zur Abbildung zwischen **Ortsraum** (Spatial Domain) und **Frequenzraum** (Frequency Domain) verwendet
- Statt Ortsraum $f(x)$ wird of Zeitraum $f(t)$ verwendet
- Ortsraum $f(x) \Leftrightarrow$ Frequenzraum $F(\nu)$

$$\begin{array}{ccc} \text{Forwärts-FT} & \xrightarrow{\hspace{10em}} & \\ f(x) = \int_{-\infty}^{\infty} F(\nu) e^{-2\pi i \nu x} d\nu & \Leftrightarrow & F(\nu) = \int_{-\infty}^{\infty} f(x) e^{2\pi i \nu x} dx \\ & & \xleftarrow{\hspace{10em}} \text{inverse FT} \end{array}$$

Fourier-Darstellung:

$$f(x) = a_0 + \sum_{\nu > 1} (a_\nu \cos(2\pi\nu x) + b_\nu \sin(2\pi\nu x))$$

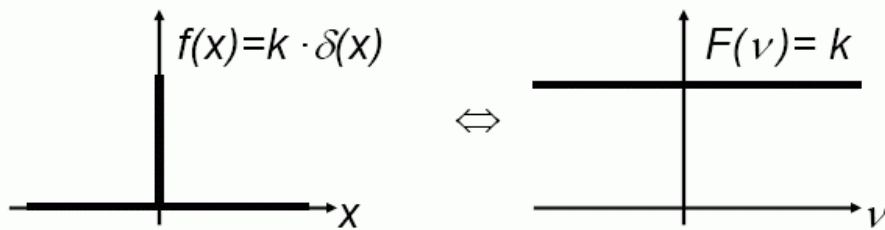
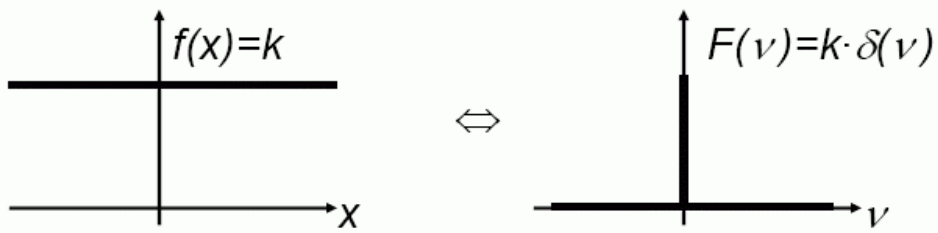
Berechnung der Koeffizienten mit Hilfe von

$$a_0 = \frac{1}{2\pi} \int_{-\pi}^{\pi} f(x) dx$$

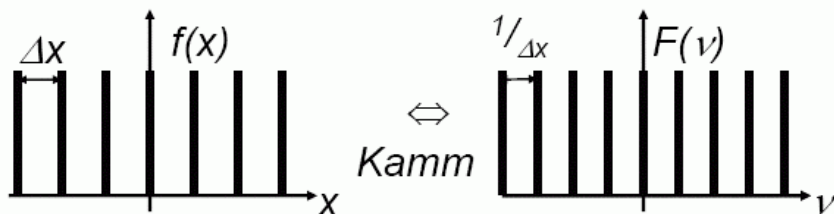
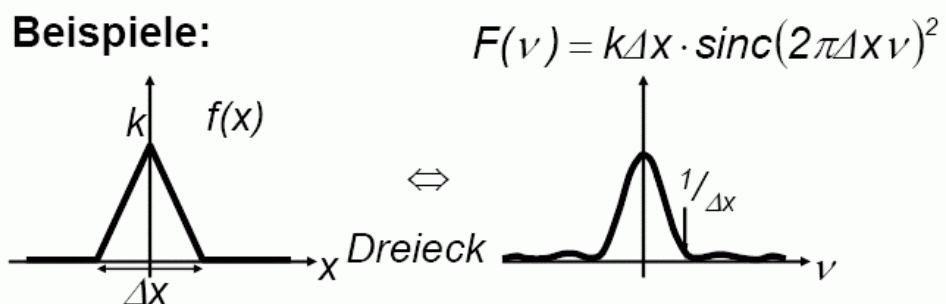
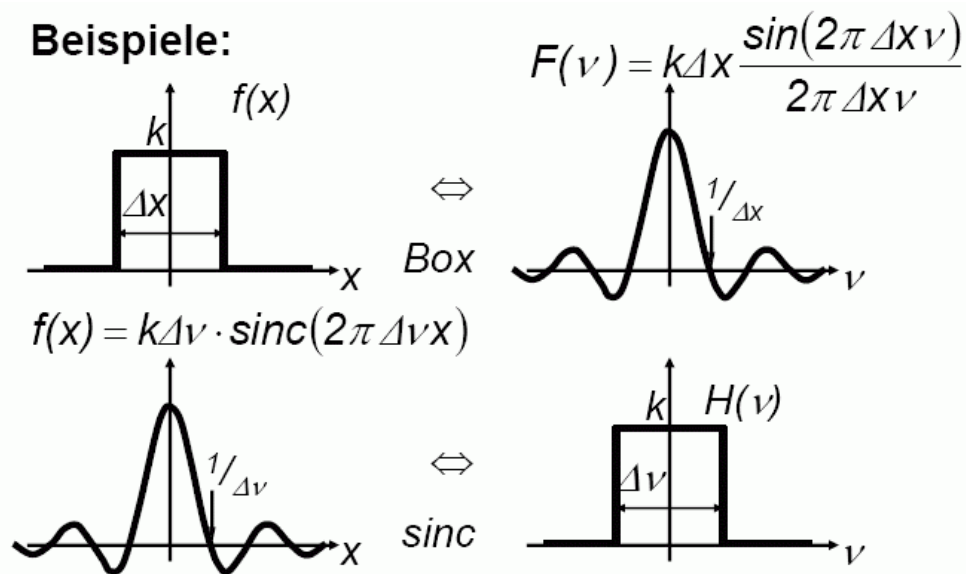
$$a_\nu = \frac{1}{\pi} \int_{-\pi}^{\pi} f(x) \cos(2\pi\nu x) dx$$

$$b_\nu = \frac{1}{\pi} \int_{-\pi}^{\pi} f(x) \sin(2\pi\nu x) dx$$

Beispiele:



Beispiele:



5.3 Gradienten

In orts- oder zeitbezogenen Datensätzen interessiert man sich oft für die *Veränderung* der Daten (örtlich / zeitlich).

→ Betrachtung von Ableitungen / Gradienten.

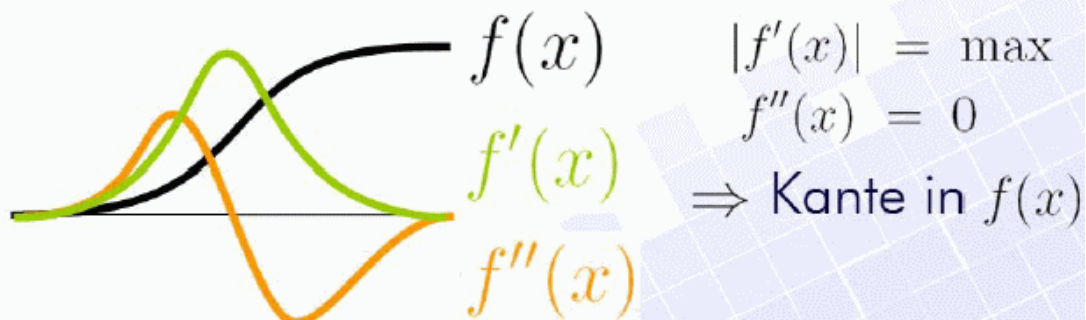
- Ableitungen im 1D: $f'(x) = \frac{df(x)}{dx}$

Eigenschaften der Ableitung:

$f'(x)$ beschreibt die Steigung der Kurve $f(x)$

Lokale Extrema: $f(x) = \max \Rightarrow f'(x) = 0$

- Kantendetektion:

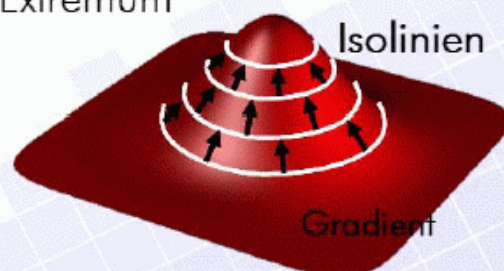


- 1. Ableitung im 2D:
Der Gradient $\text{grad}f(x, y) = \begin{pmatrix} \frac{\partial f(x, y)}{\partial x} \\ \frac{\partial f(x, y)}{\partial y} \end{pmatrix}$

Eigenschaften des Gradientenvektors:

- zeigt in die Richtung des größten Anstiegs
- steht senkrecht auf den Isolinien
- ist gleich Null bei lokalem Extremum

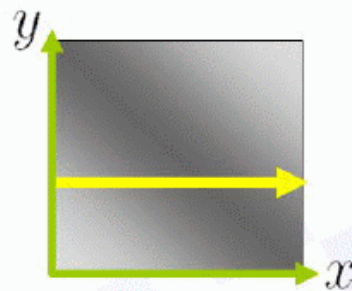
Beispiel:
2D Höhenfeld



Richtungsableitung

Partielle Ableitung im 2D:

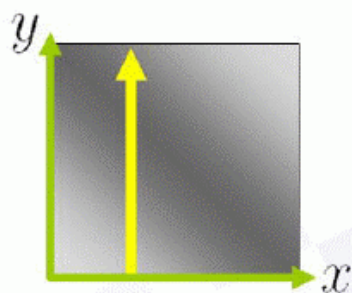
● in x-Richtung: $\frac{\partial f(x, y)}{\partial x}$



Partielle Ableitung im 2D:

● in x-Richtung: $\frac{\partial f(x, y)}{\partial x}$

● in y-Richtung: $\frac{\partial f(x, y)}{\partial y}$



Partielle Ableitung im 2D:

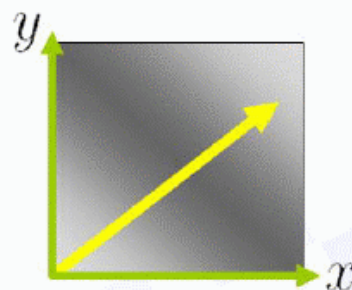
● in x-Richtung: $\frac{\partial f(x, y)}{\partial x}$

● in y-Richtung: $\frac{\partial f(x, y)}{\partial y}$

● in beliebige Richtung $\vec{w} = \begin{pmatrix} w_x \\ w_y \end{pmatrix}$

$$\frac{\partial f(x, y)}{\partial \vec{w}} = w_x \frac{\partial f(x, y)}{\partial x} + w_y \frac{\partial f(x, y)}{\partial y}$$

$$= \langle \vec{w} \circ \text{grad} f(x, y) \rangle$$



Ableitungen im Dreidimensionalen:

- Gradientenvektor:

$$\text{grad}f(x, y, z) = \begin{pmatrix} \frac{\partial f(x, y, z)}{\partial x} \\ \frac{\partial f(x, y, z)}{\partial y} \\ \frac{\partial f(x, y, z)}{\partial z} \end{pmatrix}$$

- Richtungsableitung in Richtung $\vec{w} = \begin{pmatrix} w_x \\ w_y \\ w_z \end{pmatrix}$:

$$\begin{aligned} \frac{\partial f(x, y)}{\partial \vec{w}} &= w_x \frac{\partial f(x, y, z)}{\partial x} + w_y \frac{\partial f(x, y, z)}{\partial y} + w_z \frac{\partial f(x, y, z)}{\partial z} \\ &= \langle \vec{w} \circ \text{grad}f(x, y, z) \rangle \end{aligned}$$

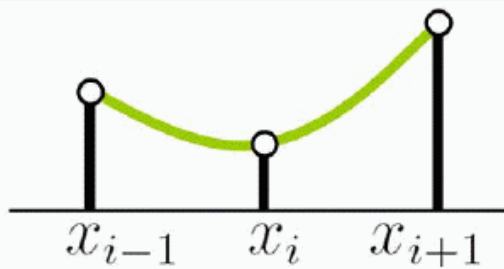
Differenzieren auf Gittern

Wie kann ich Ableitungen berechnen auf diskreten Daten?

- **Möglichkeit 1:** Approximiere die diskreten Daten (lokal) durch eine differenzierbare Funktion und differenziere diese.
- **Möglichkeit 2:** Ersetze das Differential durch finite Differenzen

$$f'(x) = \frac{df(x)}{dx} \mapsto \frac{\Delta f(x)}{\Delta x}$$

Möglichkeit 1: Curve Fitting



Bestimme die
Ableitung $f'(x_i)$
an der Stelle x_i

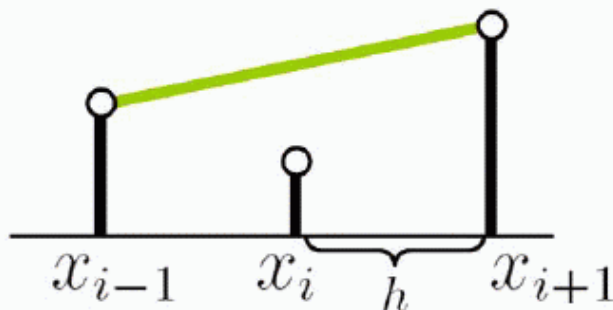
1. Finde ein Polynom 2. Grades,

$$f(x) = ax^2 + bx + c$$

das die diskreten Werte lokal approximiert.

2. Differenziere dieses Polynom an der Stelle x_i

Möglichkeit 2: Finite Differenzen



Bestimme die
Ableitung $f'(x_i)$
an der Stelle x_i

Vorwärtsdifferenzen:

$$f'(x_i) \approx \frac{f(x_{i+1}) - f(x_i)}{h}$$

Fehlerordnung

$o(h)$

Rückwärtsdifferenzen:

$$f'(x_i) \approx \frac{f(x_i) - f(x_{i-1})}{h}$$

$o(h)$

Zentrale Differenzen:

$$f'(x_i) \approx \frac{f(x_{i+1}) - f(x_{i-1}))}{2h}$$

$o(h^2)$

(Rezk-Salama, o.J.)

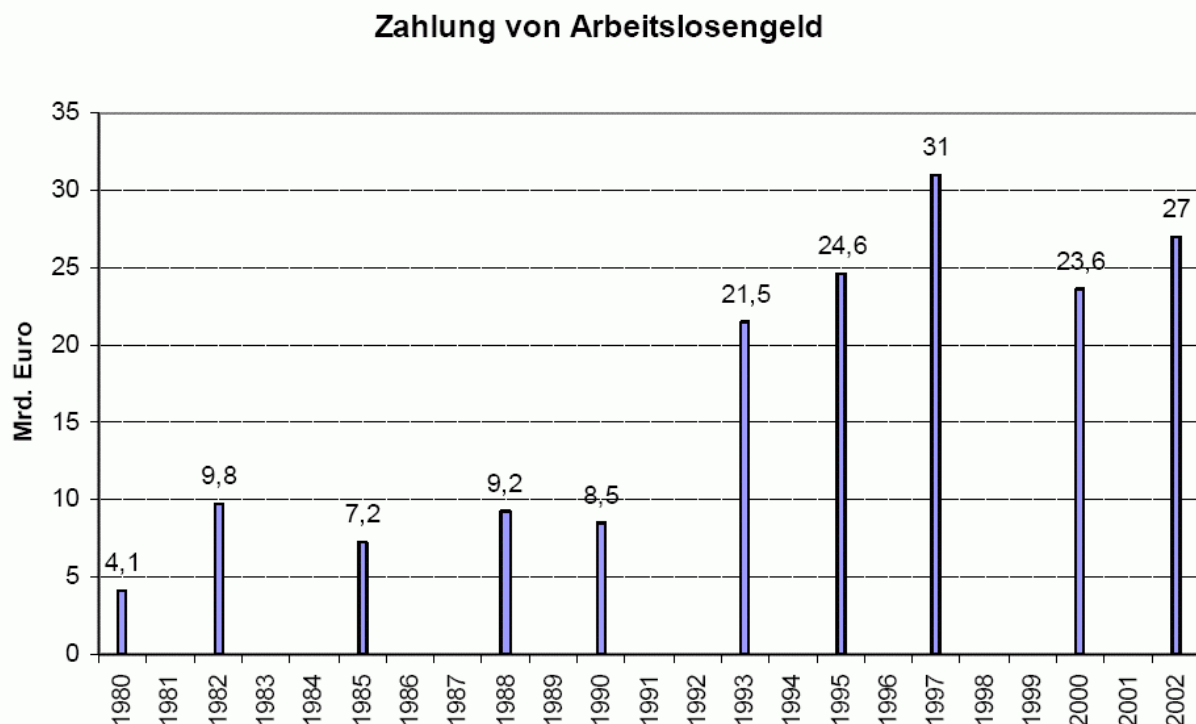
5.4 Interpolation

In nichts zeigt sich der Mangel an mathematischer Bildung mehr, als in einer übertrieben genauen Rechnung

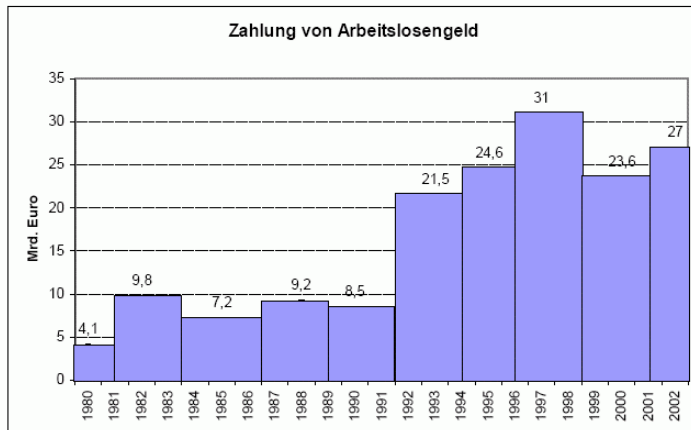
(Carl Friedrich Gauss, dt. Mathematiker, 1777-1855)

Interpolation:
stetige Fortsetzung eines Datensatzes an Punkten, wo keine Daten erhoben wurden (wo aber in einer Umgebung Daten erhoben wurden).

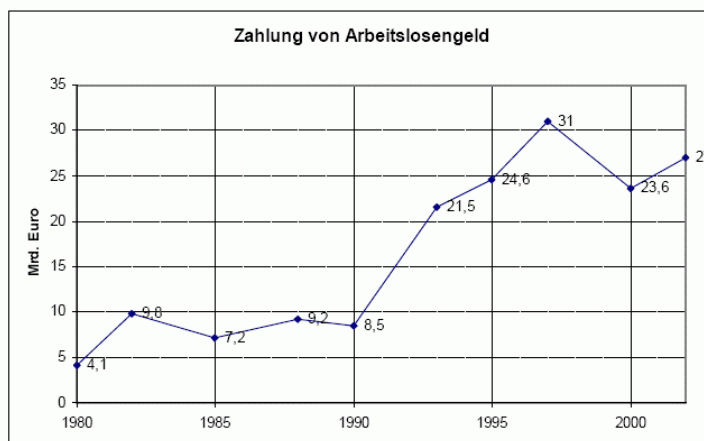
Beispiel: Datensatz durch Balken visualisiert,
keine Interpolation:



Datensatz: Balken, nächste Nachbarregion
(konstante Interpolation, nearest neighbor)



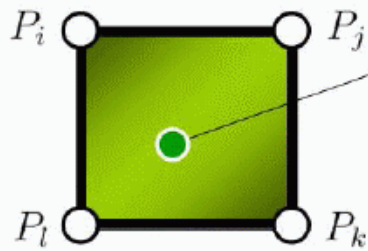
Datensatz: linear interpoliert



Datensatz: quadratisch interpoliert



- An den Datenpunkten P_i sind Datenwerte gegeben.



Wie bestimme ich einen Datenwert für einen Punkt, der innerhalb einer Zelle liegt?



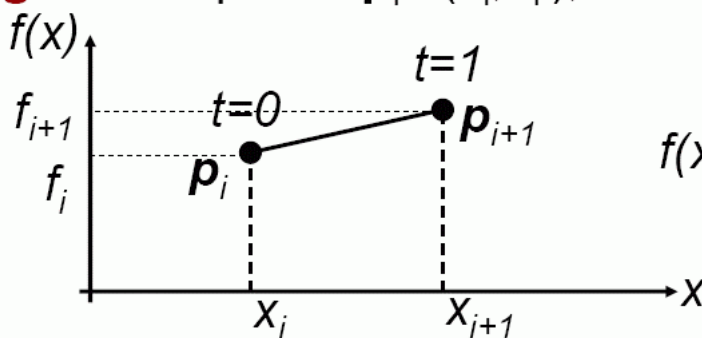
d.h. approximative Rekonstruktion des Signals

(Rezk-Salama, o.J.)

Lineare Interpolation:

1-dimensionaler Fall

Geg.: Datenpaare $\mathbf{p}_i = (x_i, f_i)$, mit $i=0..n-1$, $x_i < x_j$ für $i < j$



$$f(x) = \frac{x_{i+1} - x}{x_{i+1} - x_i} f_i + \frac{x - x_i}{x_{i+1} - x_i} f_{i+1}$$

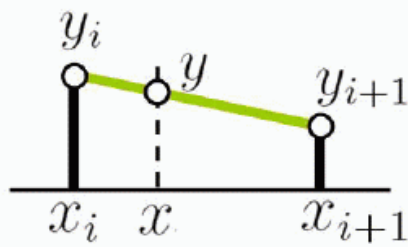
Idee: Parametrisierung des Liniensegments mit Hilfe eines Parameters t :

$$L(\mathbf{p}_i, t, \mathbf{p}_{i+1}) = (1-t)\mathbf{p}_i + t\mathbf{p}_{i+1}, \quad t \in [0, 1]$$

$$t(x) = \frac{x - x_i}{x_{i+1} - x_i}, \quad x \in [x_i, x_{i+1}]$$

(Bartz 2005)

Lineare Interpolation (1D)



Lineares Blenden,

$$f(x) = \alpha y_{i+1} + (1 - \alpha)y_i$$

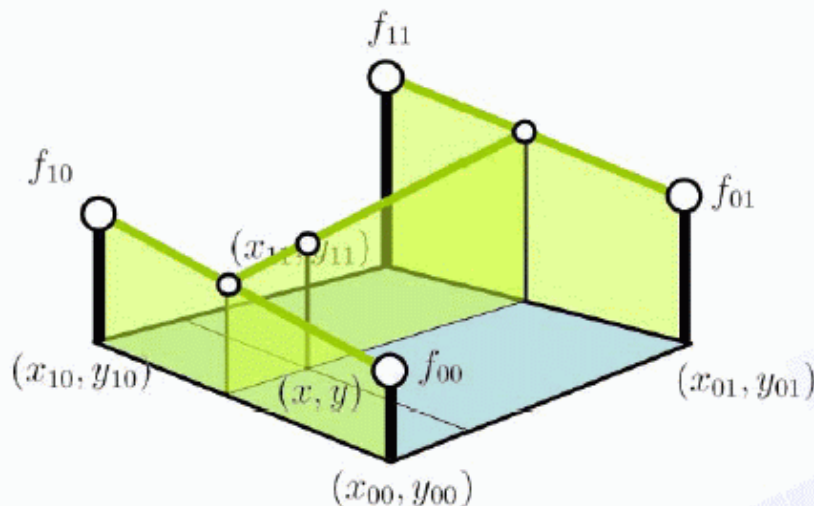
mit

$$\alpha = \frac{x - x_i}{x_{i+1} - x_i}$$

$$x = x_i \Rightarrow \alpha = 0 \Rightarrow f(x) = y_i$$

$$x = x_{i+1} \Rightarrow \alpha = 1 \Rightarrow f(x) = y_{i+1}$$

Bilineare Interpolation (2D)



$$f_0 = \alpha f_{10} + (1 - \alpha)f_{00}$$

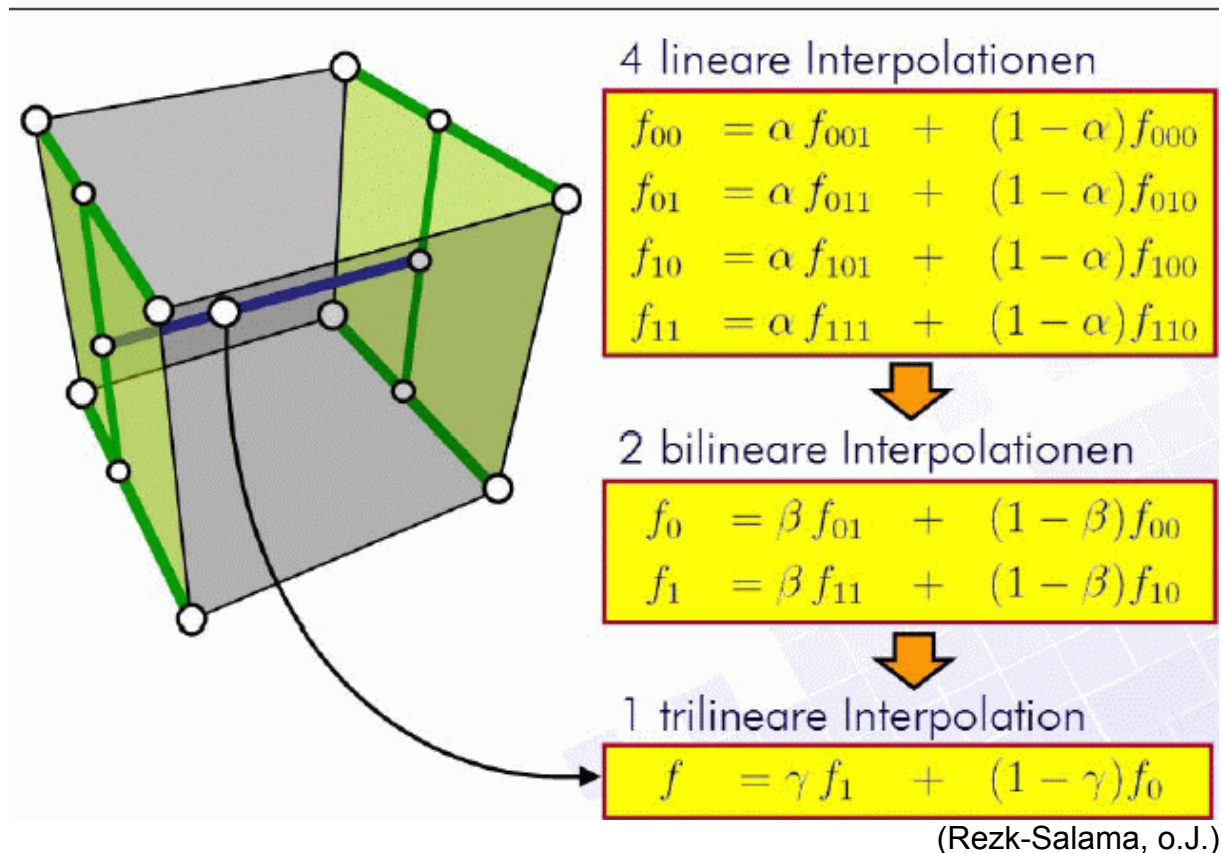
$$f_1 = \alpha f_{11} + (1 - \alpha)f_{01}$$

$$f(x, y) = \beta f_1 + (1 - \beta)f_0$$

$$\alpha = \frac{x - x_{00}}{x_{10} - x_{00}}$$

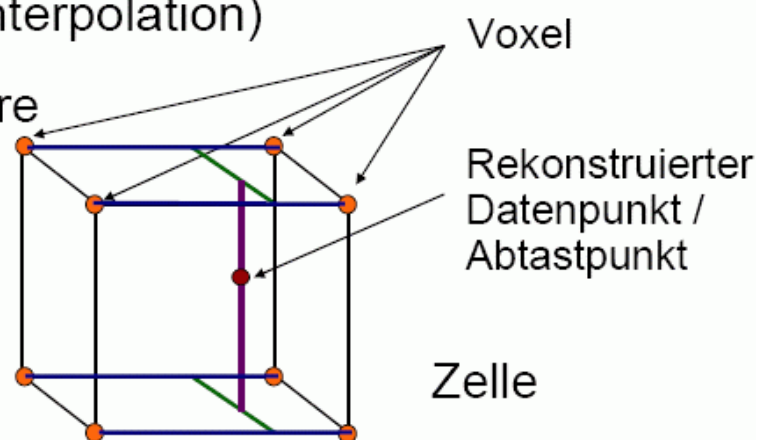
$$\beta = \frac{y - y_{00}}{y_{01} - y_{00}}$$

Trilineare Interpolation (3D)



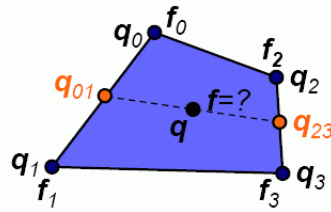
Trilineare Volumeninterpolation:

- Vier **lineare Interpolationen** auf den Kanten
- Darauf zwei lineare Interpolationen (zwei **bilineare** Interpolation)
- Darauf eine lineare Interpolation

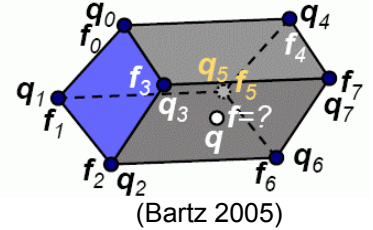


(Bartz 2005)

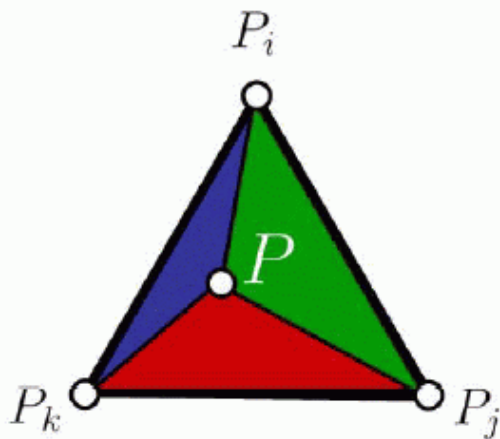
Vierecke:



Hexaeder / Trilineare Interpolation:



Dreieckige Zellen (2D)



Schwerpunktskoordinaten
(Baryzentrische Koordinaten)

$$a_i = a_j = a_k = \frac{1}{3}$$

$\Rightarrow P$ ist Schwerpunkt

Der Punkt P kann ausgedrückt werden als

$$P = a_i P_i + a_j P_j + a_k P_k$$

mit

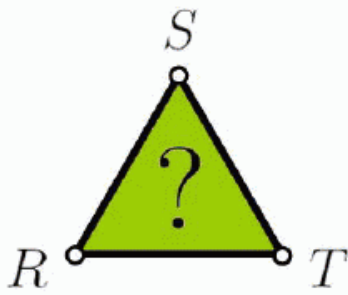
$$a_i + a_j + a_k = 1$$

$$A = \text{Area}(\Delta P_i P_j P_k)$$

$$a_i = \frac{1}{A} \text{Area}(\Delta P P_j P_k)$$

$$a_j = \frac{1}{A} \text{Area}(\Delta P_i P P_k)$$

$$a_k = \frac{1}{A} \text{Area}(\Delta P_i P_j P)$$

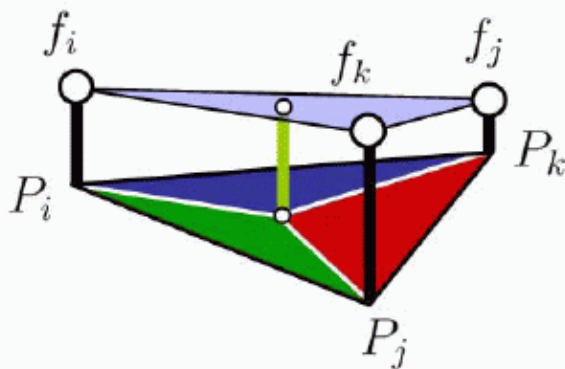


- Wie bestimme ich den Flächeninhalt eines Dreiecks $Area(\triangle RST)$?

$$R = \begin{pmatrix} R_x \\ R_y \end{pmatrix} \quad S = \begin{pmatrix} S_x \\ S_y \end{pmatrix} \quad T = \begin{pmatrix} T_x \\ T_y \end{pmatrix}$$

$$\begin{vmatrix} 1 & 1 & 1 \\ R_x & S_x & T_x \\ R_y & S_y & T_y \end{vmatrix} = \pm 2 \cdot Area(\triangle RST)$$

Lineare Interpolation im Dreieck



Bestimme die baryzentrischen Koordinaten des Punkts P

$$P = a_i P_i + a_j P_j + a_k P_k$$



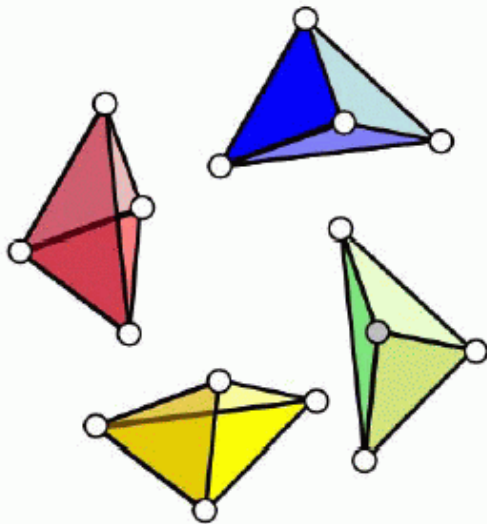
Bestimme den Funktionswert mit den gleichen Gewichten

$$f = a_i f_i + a_j f_j + a_k f_k$$

Anmerkung: Auch Punkte P außerhalb des Dreiecks lassen sich in baryzentrischen Koordinaten ausdrücken. Die Gewichte sind dann nicht mehr alle positiv. Es gilt aber nach wie vor $a_i + a_j + a_k = 1$

Tetraeder

Baryzentrische Koordinaten im Tetraeder

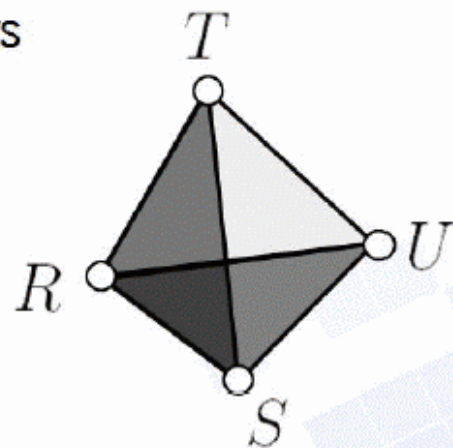


1. Verbinde den inneren Punkt mit allen Randpunkten.

Es entstehen 4 Tetraeder als Unterteilung

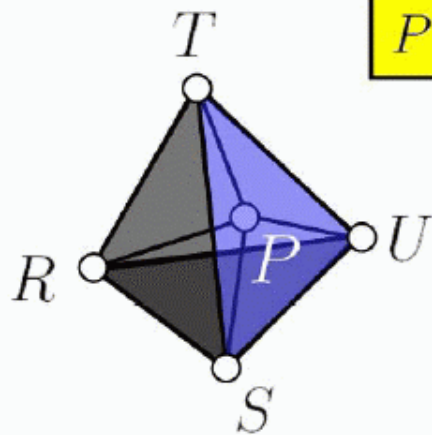
2. Das Volumen eines Teil-Tetraeders ist das baryzentrische Gewicht für den gegenüberliegenden Punkt

● Volumen eines Tetraeders
 $Vol(Tet(R, S, T, U))$ mit
Vertices R, S, T und U :



$$\begin{vmatrix} 1 & 1 & 1 & 1 \\ R_x & S_x & T_x & U_x \\ R_y & S_y & T_y & U_y \\ R_z & S_z & T_z & U_z \end{vmatrix} = \pm 6 \cdot Vol(Tet(R, S, T, U))$$

Baryzentrische Koordinaten im Tetraeder



$$P = a_R R + a_S S + a_T T + a_U U$$

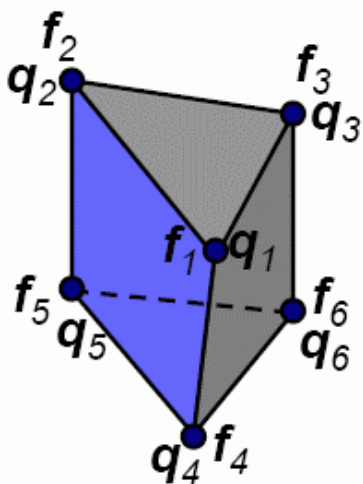
$$a_U = \frac{\begin{vmatrix} 1 & 1 & 1 & 1 \\ R_x & S_x & T_x & P_x \\ R_y & S_y & T_y & P_y \\ R_z & S_z & T_z & P_z \end{vmatrix}}{\begin{vmatrix} 1 & 1 & 1 & 1 \\ R_x & S_x & T_x & U_x \\ R_y & S_y & T_y & U_y \\ R_z & S_z & T_z & U_z \end{vmatrix}}$$

Interpolation:

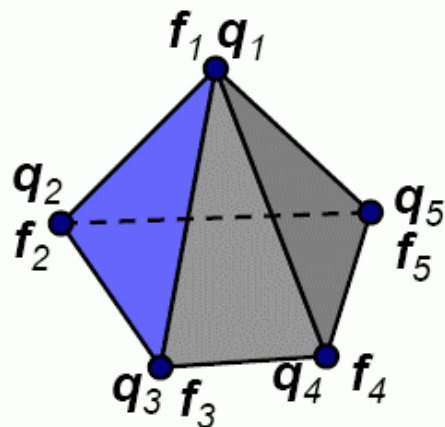
$$f = a_R f_R + a_S f_S + a_T f_T + a_U f_U$$

(Rezk-Salama, o.J.)

Interpolation in Prisma und Pyramide:



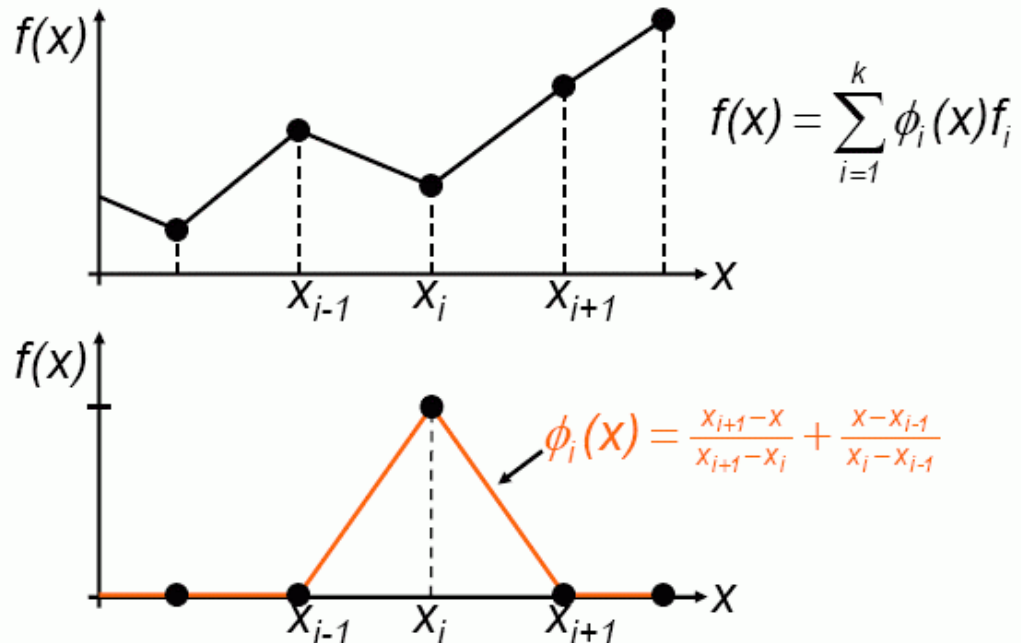
zweimal baryzentrisch
gefolgt von linear



bilinear auf Grundfläche
gefolgt von linear

Interpolation mit Basisfunktionen (Gewichtungsfunktionen)

Beispiel: Lineare Interpolation



für die Gewichtungsfunktionen soll gelten...

Gewünschte Eigenschaften:

Glattheit

Lokalität

Affine Invarianz: $\sum_i \phi_i(x) = 1$

Unabhängigkeit: $\phi_i(x_j) = \delta_{ij}$

Normiertheit: $\int \phi_i(x) dx = 1$

Orthogonalität: $\int \phi_i(x) \phi_j(x) dx = \delta_{ij}$

Interpolationsproblem mit Basisfunktionen:

gegeben seien k Datenpunkte (q_i, f_i) ($i = 1, \dots, k$)
und k Basisfunktionen ϕ_i

gesucht: k Koeffizienten c_i , die mittels der Funktion

$$f(q) = \sum c_i * \phi_i(q)$$

das Interpolationsproblem lösen,

d.h. f verläuft durch die Datenpunkte:

$$f(q_i) = f_i \quad \text{für alle } i = 1, \dots, k.$$

Wenn die ϕ_i unabhängig sind, so gilt $c_i = f_i$.

Sonst muss ein lineares Gleichungssystem mit k
Gleichungen und k Unbekannten gelöst werden:

Definiere die Matrix M mit den Einträgen $\phi_i(q_j)$, dann
lautet das LGS: $M * \mathbf{c} = \mathbf{f}$.

Basisfunktionen:

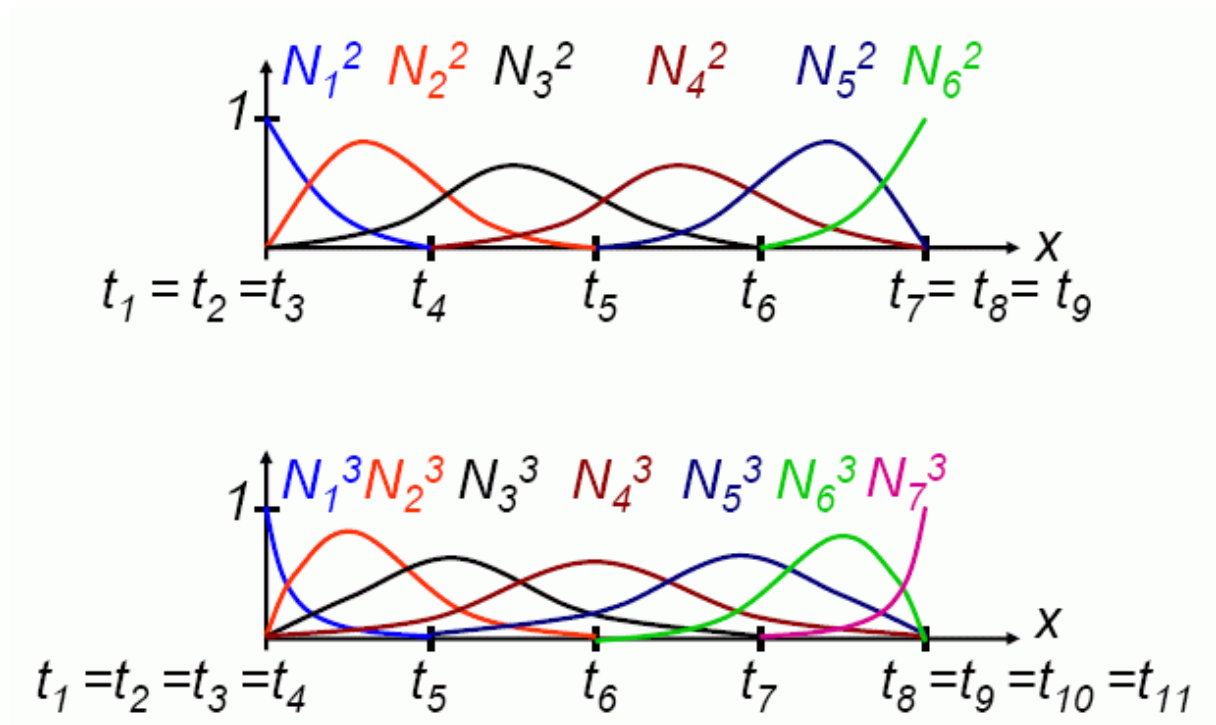
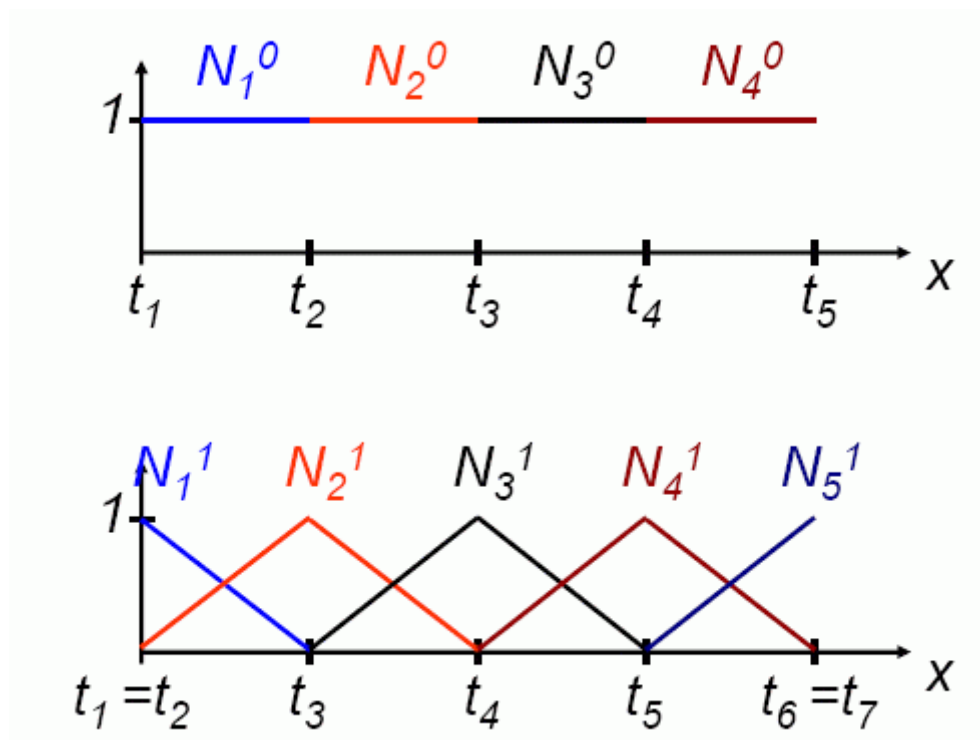
Polynombasen

- Taylorbasis $\phi_i = x^i$
- Lagrangebasis $\phi_i = \prod_{j \neq i} \frac{x - x_j}{x_i - x_j}$
- Newtonbasis $\phi_i = \prod_{j=1}^k (x - x_j)$
- Bernsteinbasis $\phi_i^k(t) = \binom{k}{i} (1-t)^{k-i} t^i$ $[(1-t) + t]^k$

Spline-Basisfunktionen

- B-Spline-Basisfunktionen
(rekursiv definiert, siehe Vorlesung "Grundzüge der
Computergrafik")

B-Spline-Basisfunktionen:



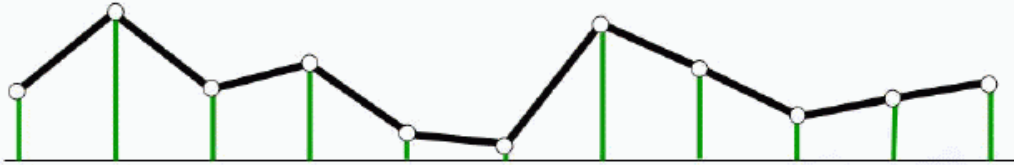
(Bartz 2005)

durch deren Verwendung glattere Interpolation!

anderer Ansatz zur glatten Interpolation:

Glatte Interpolation

- (Stückweise) Lineare Interpolation ist C_0 -stetig

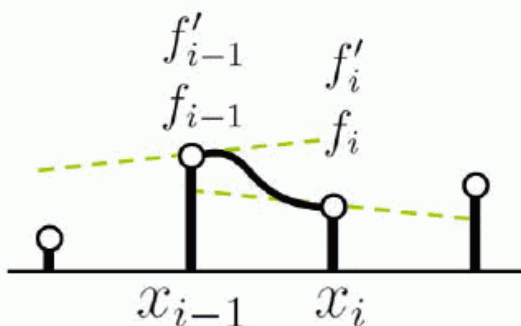


- Wie bekomme ich eine „glatte“ Interpolation (C_1 -stetig)?



- Lösung: z.B. stückweise kubische Interpolation

Catmull-Rom-Interpolation



1. Bestimme die Ableitungen f'_i durch zentrale Differenzen

2. Bestimme eine (lokale) kubische Funktion, die sowohl die Funktionswerte f_i als auch die Ableitungen f'_i interpoliert



Hermite-Interpolation

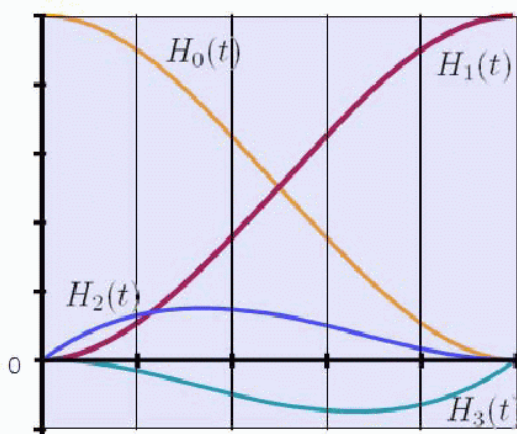
Hermite-Interpolation:

Gegeben: f_0, f_1, f'_0 und f'_1 .

Gesucht: Polynom 3.Grades $f(t)$, sodaß gilt

$f(0) = f_0$	$f(1) = f_1$	$\frac{\partial}{\partial t} f(0) = f'_0$	$\frac{\partial}{\partial t} f(1) = f'_1$
--------------	--------------	---	---

	$f(0)$	$f(1)$	$f'(0)$	$f'(1)$
$H_0(t) = (1-t)^2(2t+1)$	1	0	0	0
$H_1(t) = t(1-t)^2$	0	1	0	0
$H_2(t) = -t^2(1-t)$	0	0	1	0
$H_3(t) = t^2(3-2t)$	0	0	0	1



Das gesuchte Polynom zur lokalen Interpolation bei gegebenem f_0, f_1, f'_0 und f'_1 ist:

$$f(t) = f_0 H_0(t) + f_1 H_1(t) + f'_0 H_2(t) + f'_1 H_3(t)$$

(Rezk-Salama, o.J.)

Scattered Data - Interpolation

"Scattered Data":

Daten von Beobachtungspunkten, die nicht in einem Verbund (regelmäßigem Gitter) liegen
(Geografie, Molekularbiologie, Mechanik, Ökologie, Meteorologie...)

3 Ansätze

Scattered Data Interpolation:

- Definiere radiale Basisfunktionen und löse Interpolationsproblem
→ Shepard Interpolation
- Erzeuge möglichst optimales Gitter und interpoliere zellbasiert
→ Delaunay Triangulierung
- Erzeuge Gitter und verwende dieses zur Interpolation
→ Natural Neighbor Interpolation

Shepard-Interpolation:

Idee: definiere für jeden Beobachtungspunkt eine Basisfunktion $\phi_i(\mathbf{q})$.

$$\phi_i(\mathbf{q}) = \frac{\lambda_i(\mathbf{q})}{\sum_j \lambda_j(\mathbf{q})} \quad \lambda_i(\mathbf{q}) = \frac{1}{\|\mathbf{q} - \mathbf{q}_i\|^p}$$

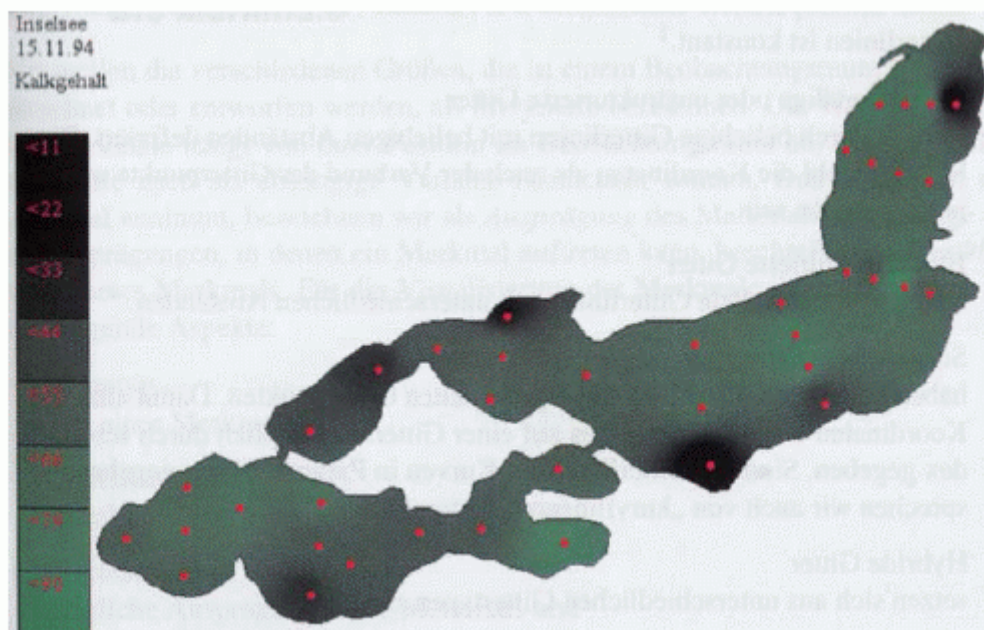
Interpolationsproblem von $\mathbf{f}(\mathbf{q}) = \sum_i \phi_i(\mathbf{q}) \mathbf{f}_i$ ist mit der Definition $\mathbf{f}(\mathbf{q}_i) := \mathbf{f}_i = \lim_{\mathbf{q} \rightarrow \mathbf{q}_i} \mathbf{f}(\mathbf{q})$ automatisch gelöst

Eigenschaften der Shepard-Interpolation:

- $f(\mathbf{q})$ ist Affinkombination der ϕ_i : $\mathbf{f} = A_k(\phi_i, \mathbf{f}_i)$
 - $f(\mathbf{q})$ liegt in der konvexen Hülle der Datenpunkte
- für $p > 1$ ist $f(\mathbf{q}) \in \mathbf{C}^\infty$ und $\nabla_{\mathbf{q}} \phi_i(\mathbf{q}_i) = 0$
 - Datenpunkte sind Sattelpunkte
- globale Interpolation
 - jedes $f(\mathbf{q})$ wird von allen Datenpunkten beeinflusst
- nur konstante Präzision, d.h. eine konstante Funktion wird exakt rekonstruiert

(Bartz 2005)

Scattered-Data: Shepard Interpolation



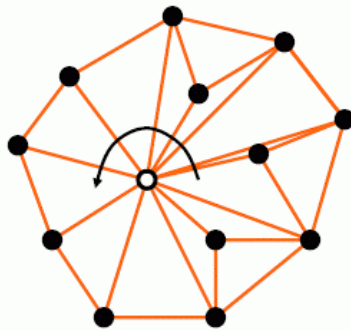
aus Schumann, Müller - Visualisierung

2. Ansatz:

Erzeugung eines Gitters aus Simplices zwischen den Datenpunkten, interpoliere dann in diesen Simplices linear.

Erzeugung eines Gitters: Beispiel 2D

Existiert immer eine Triangulierung?



– ja.

Welche Triangulierung ist geeignet?

- minimiere den maximalen Winkel
- maximiere den minimalen Winkel
- minimiere maximalen Umkreisradius
- maximiere minimalen Inkreisradius
- minimiere längste Kante
- maximiere kürzeste Kante

**Delaunay-
Triangu-
lierung**

↕ dual

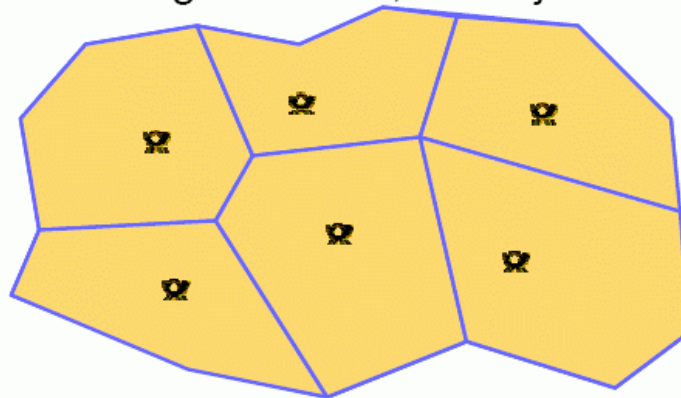
**Voronoi
Diagramm**

zum Begriff des Voronoi-Diagramms
(vgl. auch Vorlesung "Algorithmische Geometrie"):

Postproblem:

Seien n Poststellen in einer Stadt gegeben.

Welches sind die Einzugsbereiche, wenn jeder zur nächstgelegenen Poststelle geht?

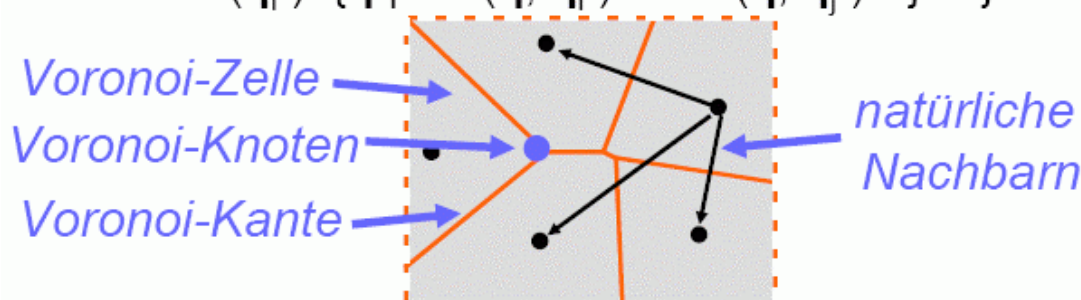


Definition Voronoi-Diagramm:

geg: eine Menge von Punkten $Q = \{q_1, \dots, q_k\}$ aus \mathbf{R}^n und eine Distanzfunktion $\text{dist}(q, r)$

Def.: Das Voronoi-Diagramm $\text{Vor}(Q)$ enthält für jeden Punkt q_i eine Zelle $V(q_i)$ mit

$$V(q_i) = \{q \mid \text{dist}(q, q_i) < \text{dist}(q, q_j) \ \forall j \neq i\}$$

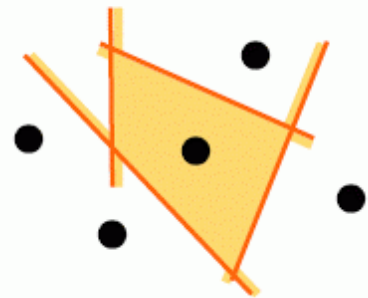
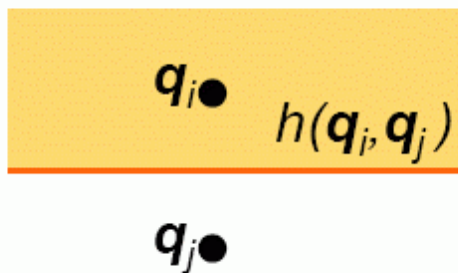


Voronoi-Zellen:

Sei $h(\mathbf{q}_i, \mathbf{q}_j)$ der Halbraum definiert durch die Mittelsenkrechte zwischen \mathbf{q}_i und \mathbf{q}_j , indem \mathbf{q}_i liegt, dann gilt:

$$V(\mathbf{q}_i) = \bigcap_{j \neq i} h(\mathbf{q}_i, \mathbf{q}_j)$$

→ die Voronoi-Zellen sind konvex



Erzeugung des Voronoi-Diagramms –

Algorithmen:

Sweep-Line-Algorithmus

- sortiere Ereignisse in eine Hauptrichtung
- bearbeite Ereignis und erzeuge neue Kanten

Einfügealgorithmus

- ordne Punkte in zufälliger Reihenfolge an
- füge Punkt für Punkt in Voronoi-Diagramm ein

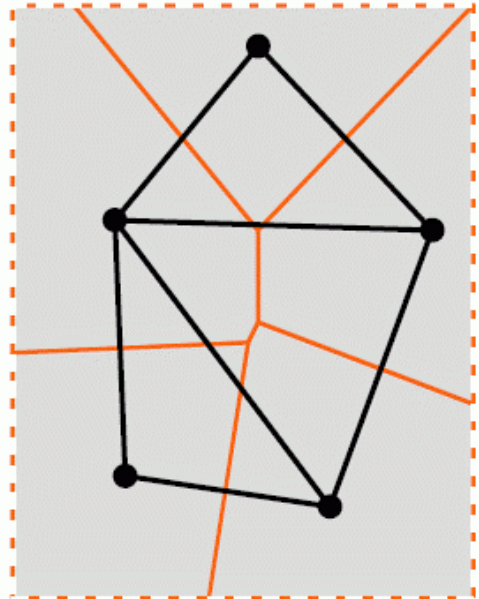
Voronoi in höheren Dimensionen:

- Größe: $\Theta(k^{\lceil n/2 \rceil})$
- Laufzeit: $O(k \cdot \log k + k^{\lceil n/2 \rceil})$

(siehe "Algorithmische Geometrie")

Definition Delaunay Graph:

Der Duale Graph des Voronoi-Diagramms $\text{Vor}(Q)$ wird Delaunay-Graph $\text{Del}(Q)$ genannt. Die Punkte Q sind die Knoten. Zwei Knoten q_i und q_j sind genau dann verbunden, wenn die Voronoi-Zellen $V(q_i)$ und $V(q_j)$ eine gemeinsame Kante haben.



Eigenschaften des Delaunay-Graphen:

- die Eckpunkte jeder Delaunay-Zelle liegen auf einem Kreis
- insbes. sind die Zellen konvex
- Wenn keine 4 Eckpunkte auf einem Kreis liegen ("allgemeine Position"), ist der Delaunay-Graph eine Triangulierung.

Jede Triangulierung des Delaunay-Graphen wird als *Delaunay-Triangulierung* bezeichnet.

Algorithmen zur Konstruktion einer Delaunay-Triangulierung zu einer Punktmenge:

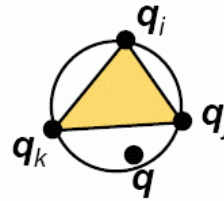
- Flipping-Algorithmus
 - Sweep-Line-Verfahren
 - Einfügealgorithmus (inkrementell)
 - divide and conquer
 - und andere
- (siehe "Algorithmische Geometrie")

Umkreis-Test:

Im Umkreis eines Delaunay-Dreiecks liegt kein 4. Punkt

Geg.: Dreieck $(\mathbf{q}_i, \mathbf{q}_j, \mathbf{q}_k)$ und \mathbf{q}

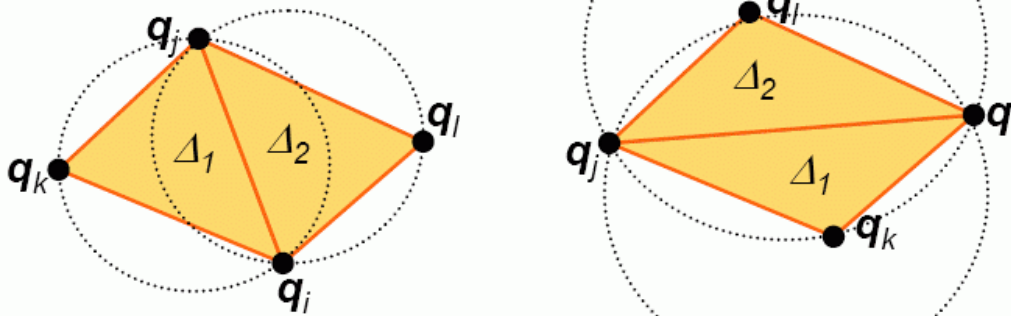
Frage: Liegt \mathbf{q} im Umkreis?



$$\iff \det \begin{pmatrix} q_{i,x} & q_{i,y} & \|\mathbf{q}_i\|^2 & 1 \\ q_{j,x} & q_{j,y} & \|\mathbf{q}_j\|^2 & 1 \\ q_{k,x} & q_{k,y} & \|\mathbf{q}_k\|^2 & 1 \\ q_x & q_y & \|\mathbf{q}\|^2 & 1 \end{pmatrix} > 0$$

Flipping Algorithmus:

Definition: Eine Kante $(\mathbf{q}_i, \mathbf{q}_j)$ mit benachbarten Dreiecken $\Delta_1 = (\mathbf{q}_i, \mathbf{q}_j, \mathbf{q}_k)$ und $\Delta_2 = (\mathbf{q}_i, \mathbf{q}_j, \mathbf{q}_l)$ heißt lokal Delaunay, wenn \mathbf{q}_k nicht im Umkreis um Δ_2 liegt, bzw. \mathbf{q}_l nicht im Umkreis um Δ_1 .



Flipping Algorithmus:

Theorem: Sind alle Kanten einer die konvexe Hülle abdeckende Triangulierung lokal Delaunay, so ist die Triangulierung Delaunay.

Algorithmus:

- starte mit beliebiger Triangulierung
- staple alle nicht lokalen Delaunay-Kanten auf Stapel
- solange Stapel nicht leer
 - flippe oberste Kante von Stapel
 - untersuche vier benachbarte Kanten und eliminiere sie vom bzw. staple sie auf den Stapel

3. Ansatz: *Natürliche-Nachbar-Interpolation*

Idee:

- Der Punkt q , an dem interpoliert werden soll, wird als neuer Punkt ins Voronoi-Diagramm der Beobachtungspunkte eingefügt
- es werden zwei Voronoi-Diagramme betrachtet: mit und ohne Punkt q
- die natürlichen Nachbarn von q im neuen Voronoi-Diagramm sind die Stellen, von wo die Werte für die Interpolation benutzt werden

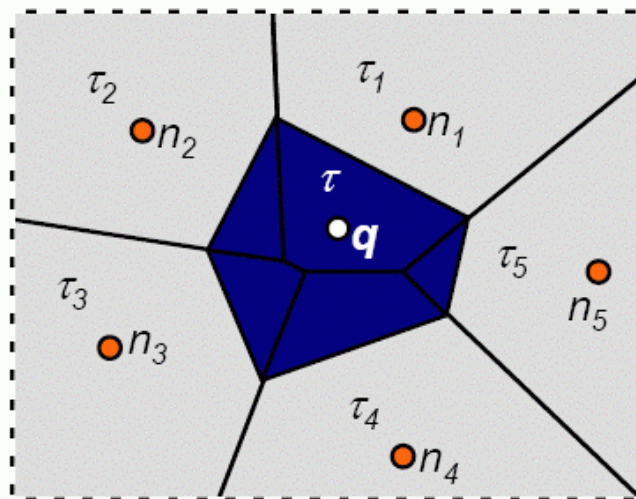
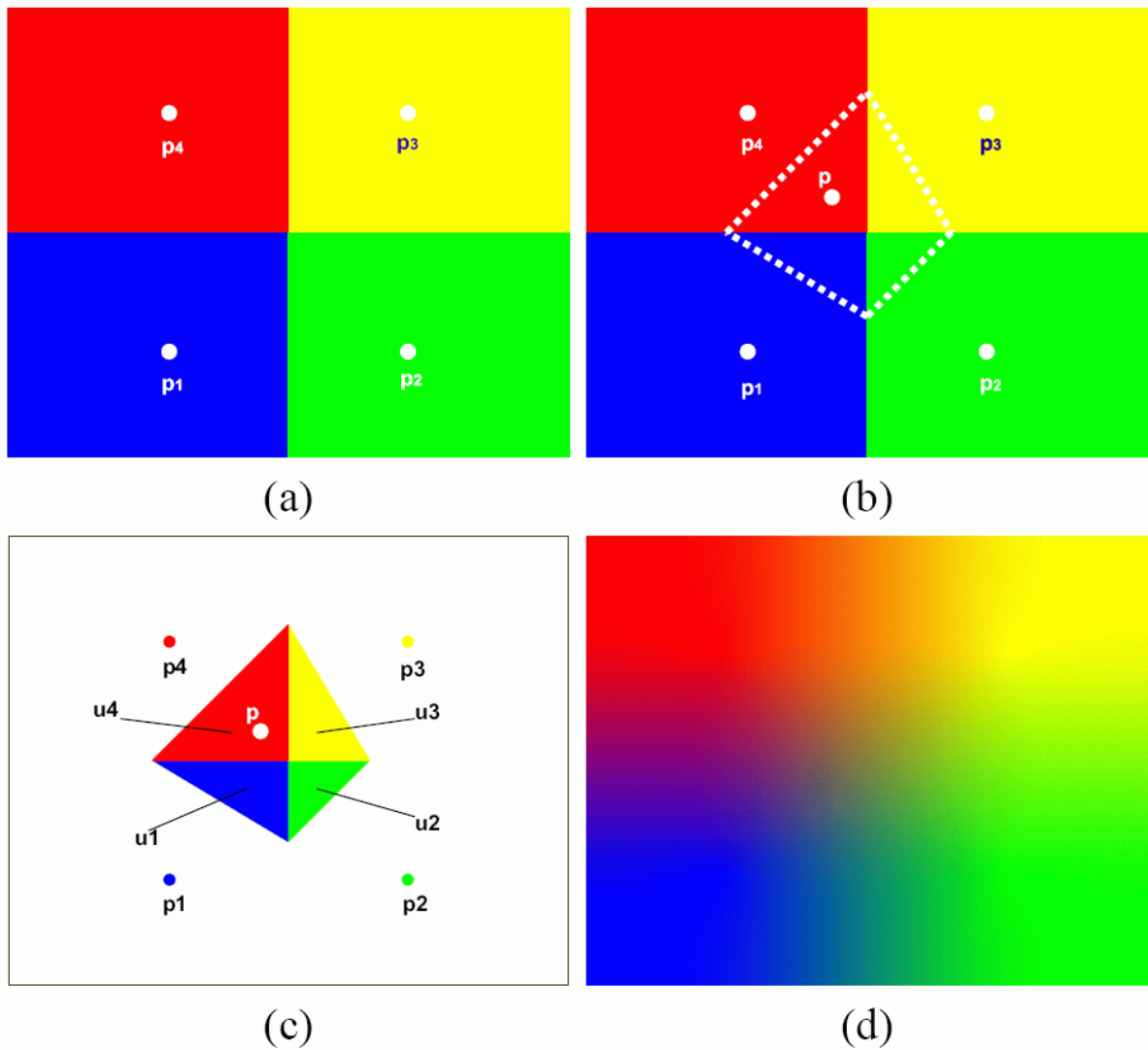


Illustration zur **Natürlichen Nachbarinterpolation**

(Bartz 2005)

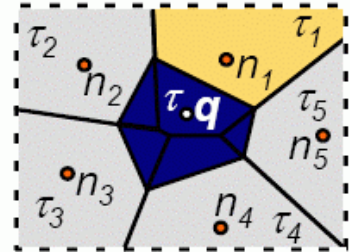
als Gewichte werden die Flächenanteile verwendet, die die Voronoi-Zellen des alten Diagramms aus der Zelle von q im neuen Diagramm ausschneiden



(aus Park et al., o.J.)

Teilprobleme:

- Punktinklusionsproblem:
In welcher Zelle liegt q ?
- Berechne Zelle um q
- **Berechne Schnitt von neuer Zelle mit alten Zellen**



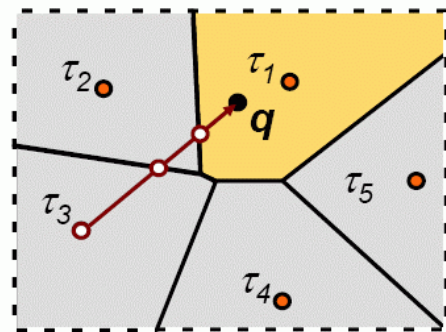
Punktinklusionsproblem:

geg: Tesselierung des Raumes \mathbf{R}^n in eben begrenzte konvexe Zellen τ_i mit Begrenzungsebenen $\{\varphi_{i,j}\}$ und einen Punkt $q \in \mathbf{R}^n$

ges: Zelle τ_i , die q enthält

Lösung:

- wähle zufälliges τ_i
- solange q nicht in τ_i
 - wähle beliebigen Punkt r aus τ_i
 - finde Begrenzung $\varphi_{i,j}$ von τ_i , die (qr) schneidet
 - betrachte τ_j als τ_i



(aus Bartz 2005)

weitere Algorithmen zur Punktlokalisierung in der Vorlesung
"Algorithmische Geometrie"